

*Laboratoire de physique de l'École Normale Supérieure de Lyon*

Thèse de Doctorat :

# ***Bruit thermique et dissipation d'un microlevier***

soutenue par **Pierdomenico Paolino**, sous la direction de **M. L. Bellon**

**Devant la commission d'examen formée de :**

**M. Ludovic BELLON**

*Directeur de thèse*

**M. François BERTIN**

*Rapporteur*

**Mme Elisabeth CHARLAIX**

*Président du jury*

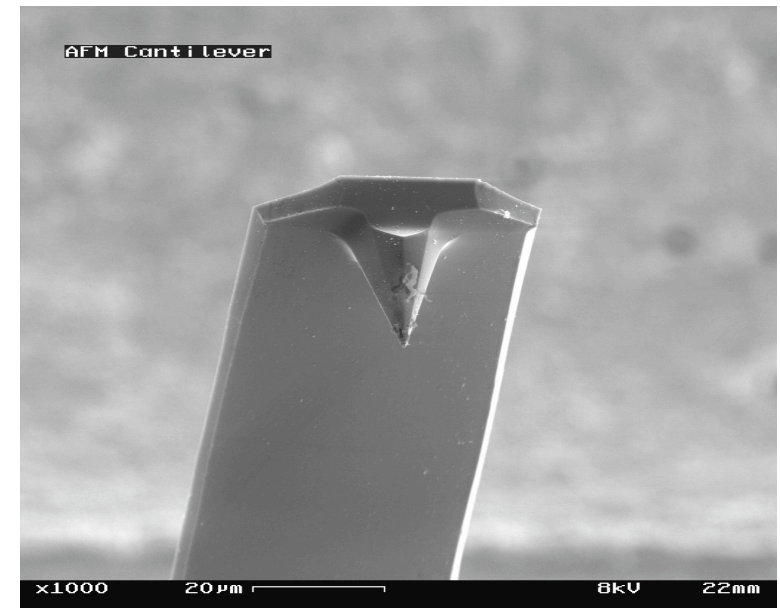
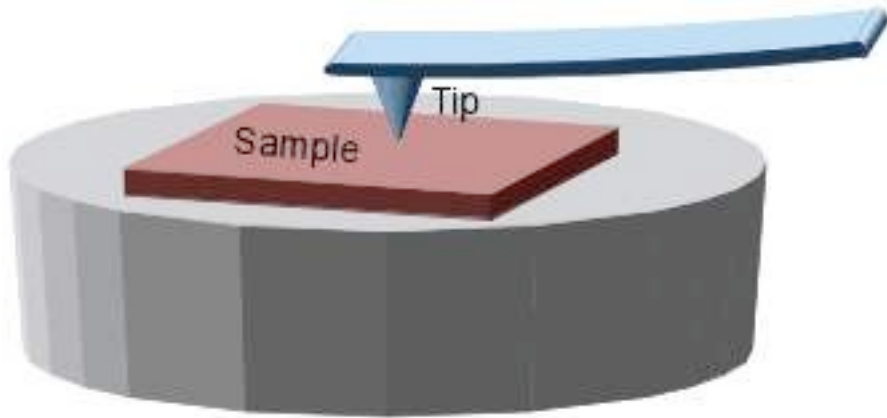
**M. Sergio CILBERTO**

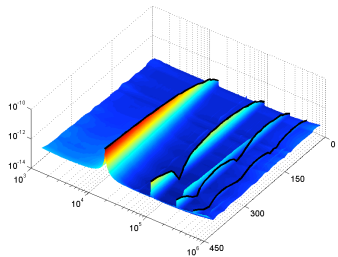
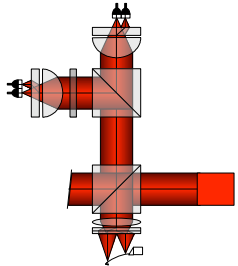
*Examineur*

**M. Christian FRETIGNY**

*Rapporteur*

# Microscope à Force Atomique (AFM)





- **montage expérimental**

- région de mesure
- région d'analyse

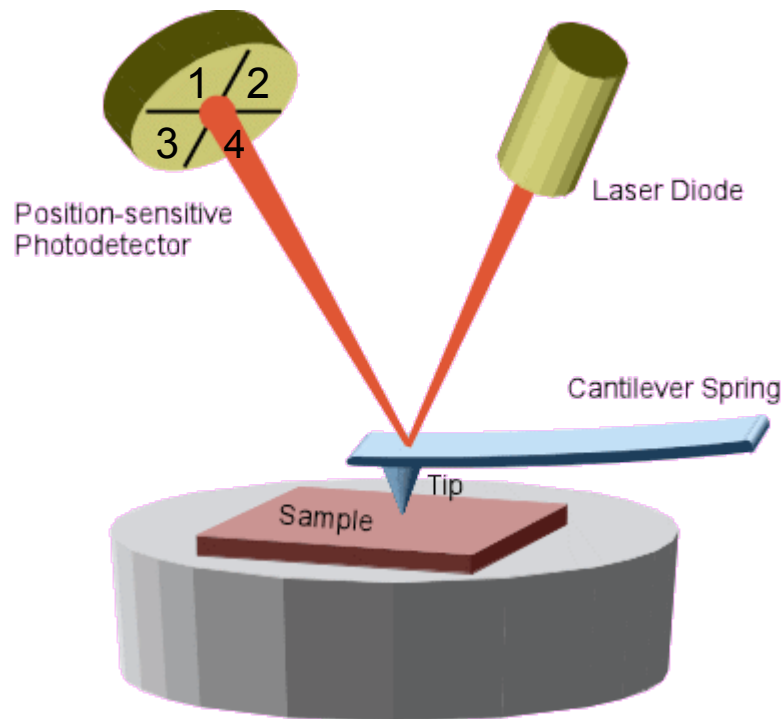
- **bruit thermique du le levier :**

- mesure des profils spatiaux (raideur)
- modèle de Sader

- **mode fondamental :**

- dissipation viscoélastique due au revêtement
- Kramers-Krönig : caractérisation complète de la réponse du levier
- modèle de Jonscher et correction hydrodynamique de Sader hors résonance

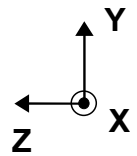
# Technique de déflexion angulaire



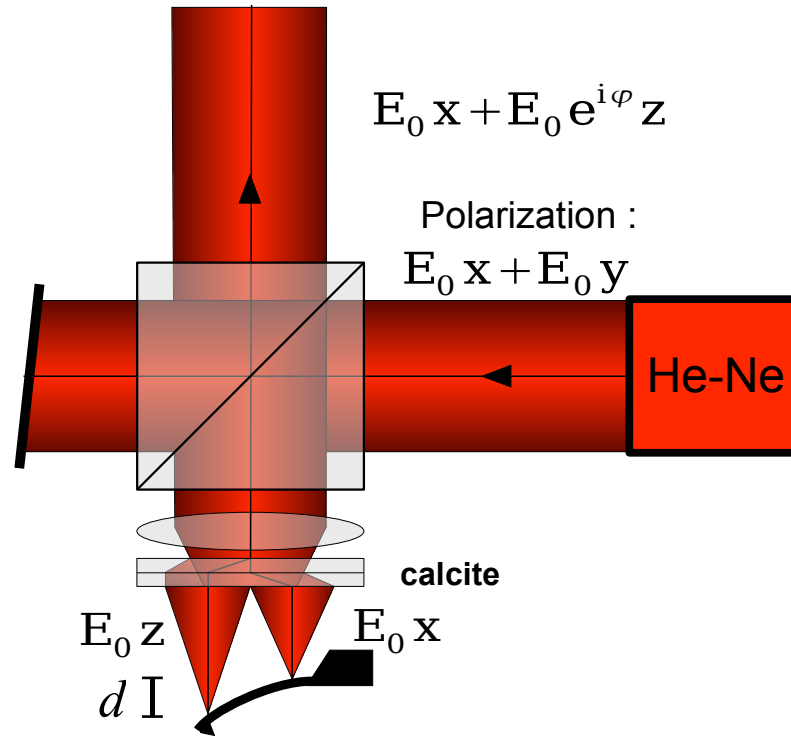
$$V_{defl} \propto \frac{I_1 + I_2 - (I_3 + I_4)}{I_1 + I_2 + I_3 + I_4}$$

$$z_{defl} = \frac{\partial z}{\partial V} V_{defl}$$

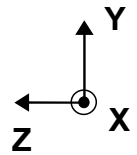
# Montage exp. : région de mesure



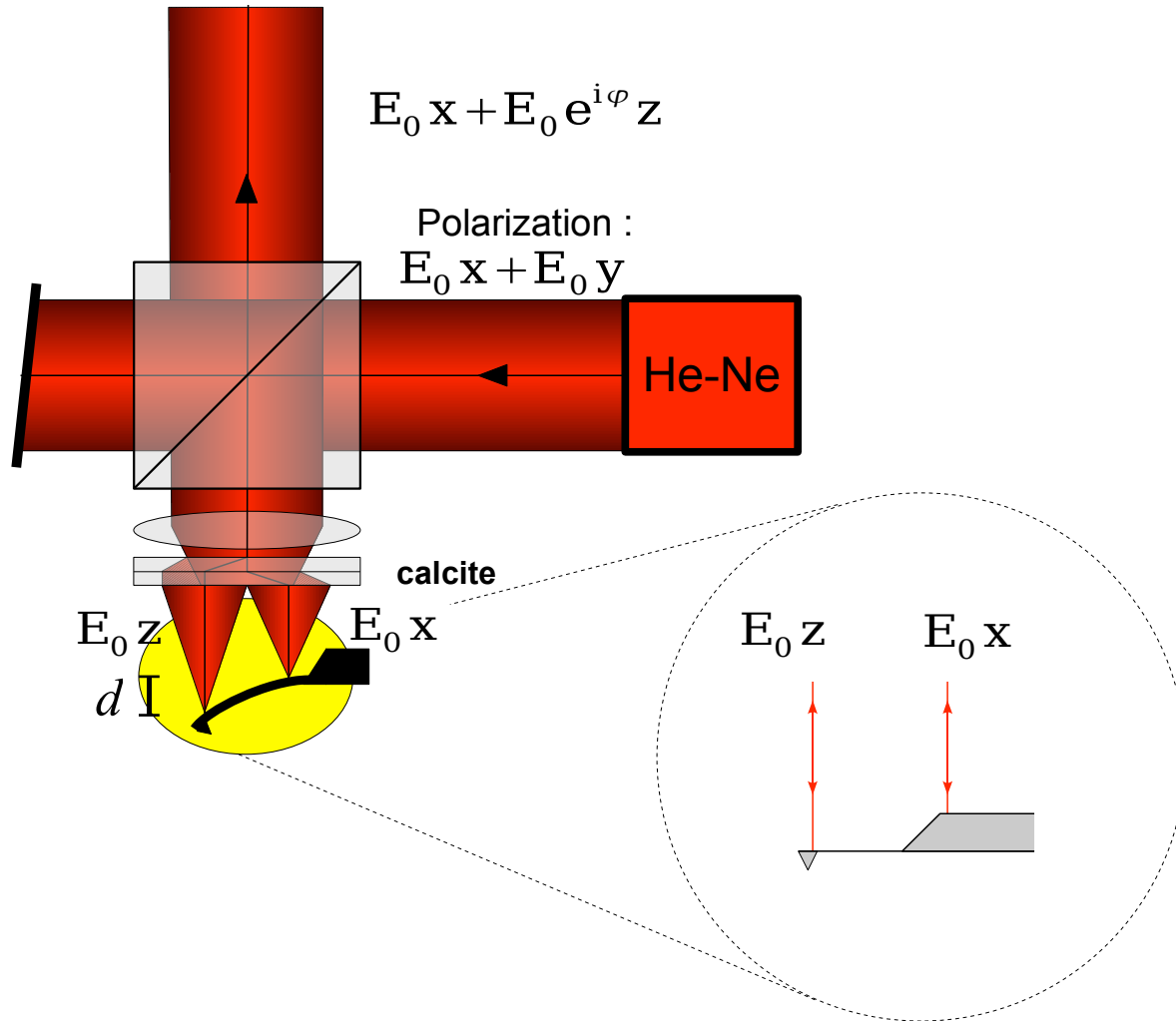
$$\varphi = \frac{2\pi}{\lambda} 2d$$



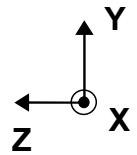
# Montage exp. : région de mesure



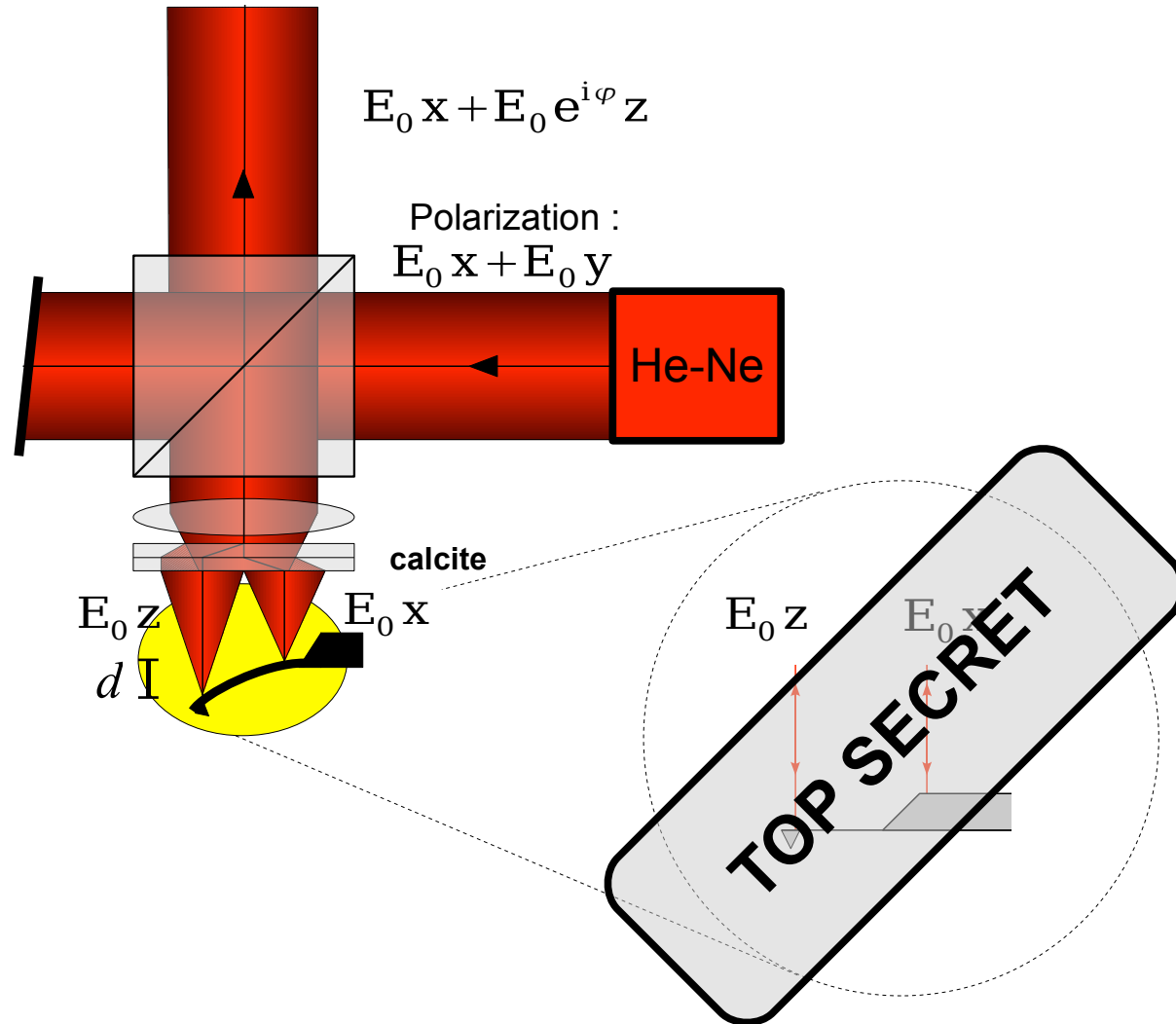
$$\varphi = \frac{2\pi}{\lambda} 2d$$



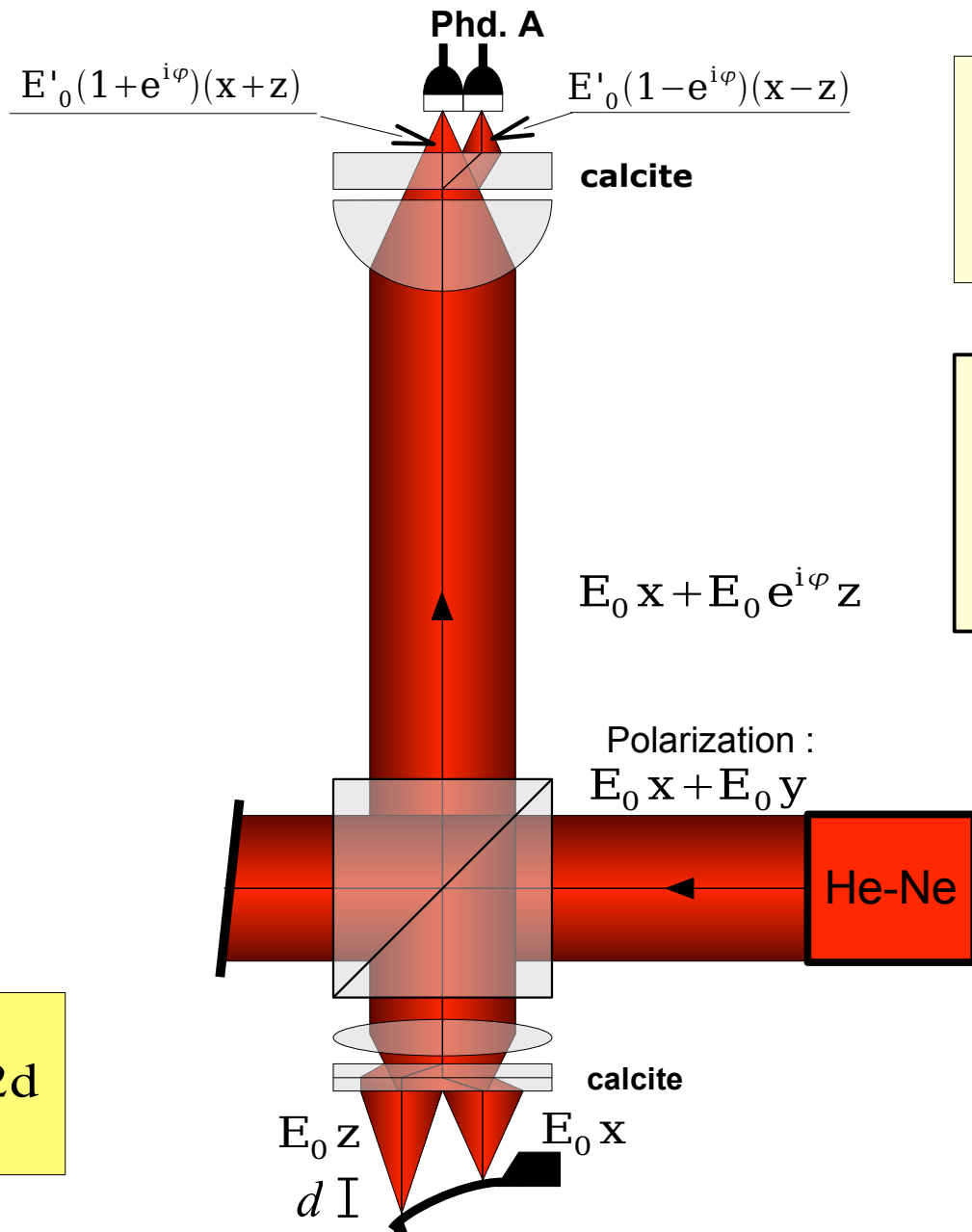
# Montage exp. : région de mesure



$$\varphi = \frac{2\pi}{\lambda} 2d$$



# Montage exp. : région d'analyse



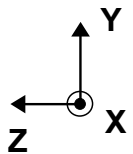
Signal Phd A :

$$I_1 = 2|E'_0|^2(1 + \cos(\varphi))$$

$$I_2 = 2|E'_0|^2(1 - \cos(\varphi))$$

Contraste A :

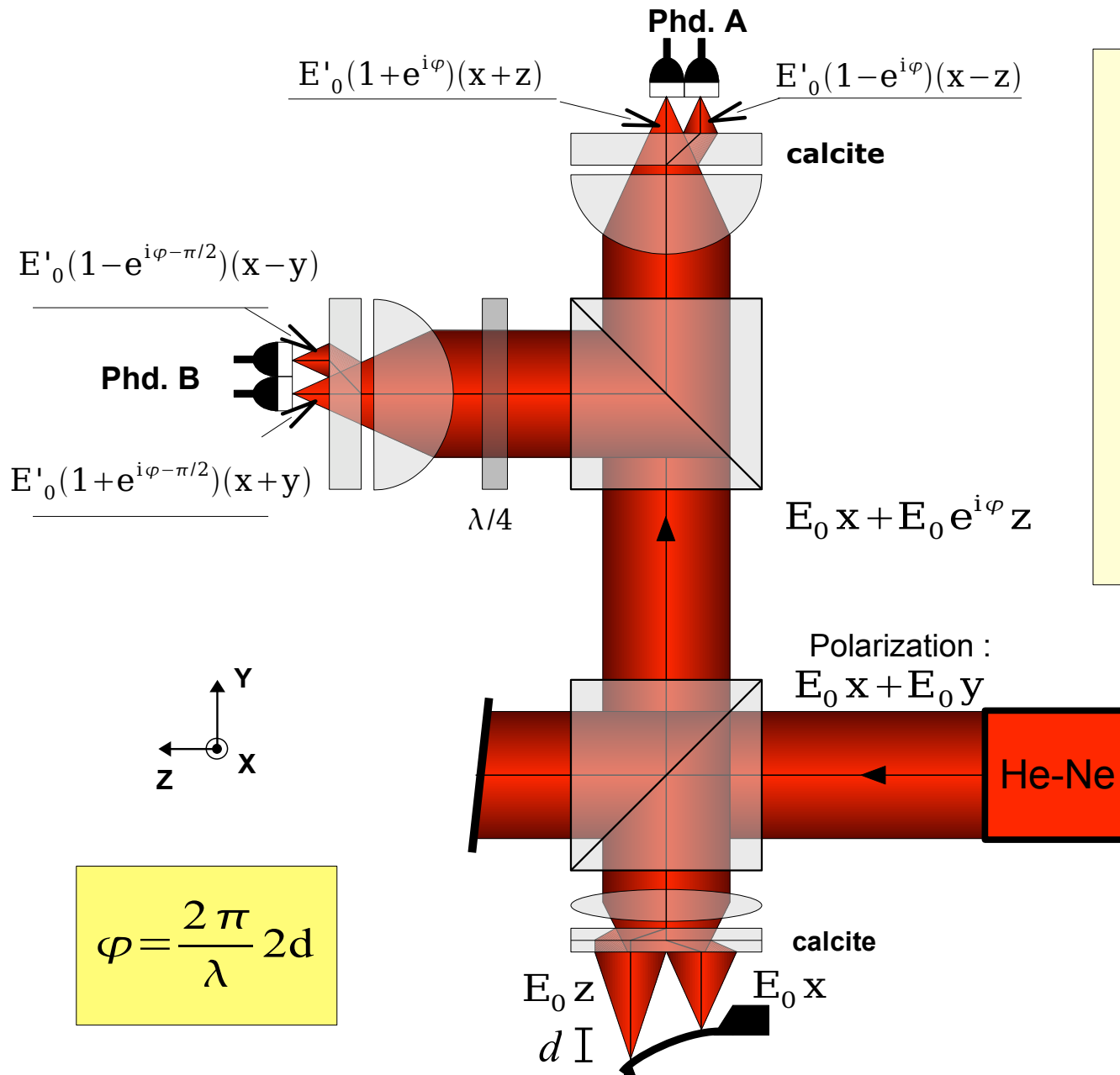
$$C_A = \frac{I_1 - I_2}{I_1 + I_2} = \cos(\varphi)$$



$$\varphi = \frac{2\pi}{\lambda} 2d$$



# Montage exp. : région d'analyse



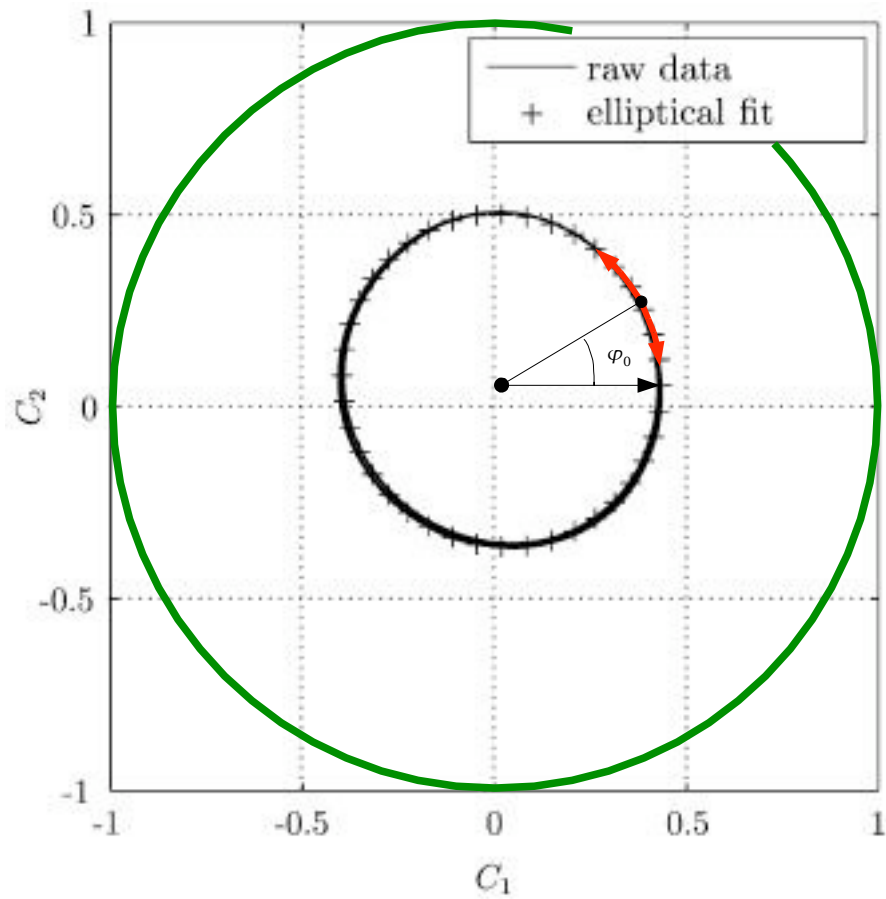
Contr. A :  $C_A = \cos(\varphi)$

Contr. B :  $C_B = \sin(\varphi)$

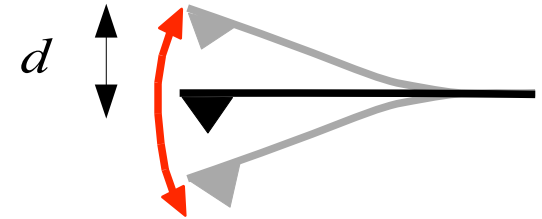
**Contraste complexe :**

$$\hat{C} = C_1 + iC_2 = e^{i\varphi}$$

$$\varphi = \frac{2\pi}{\lambda} 2d$$

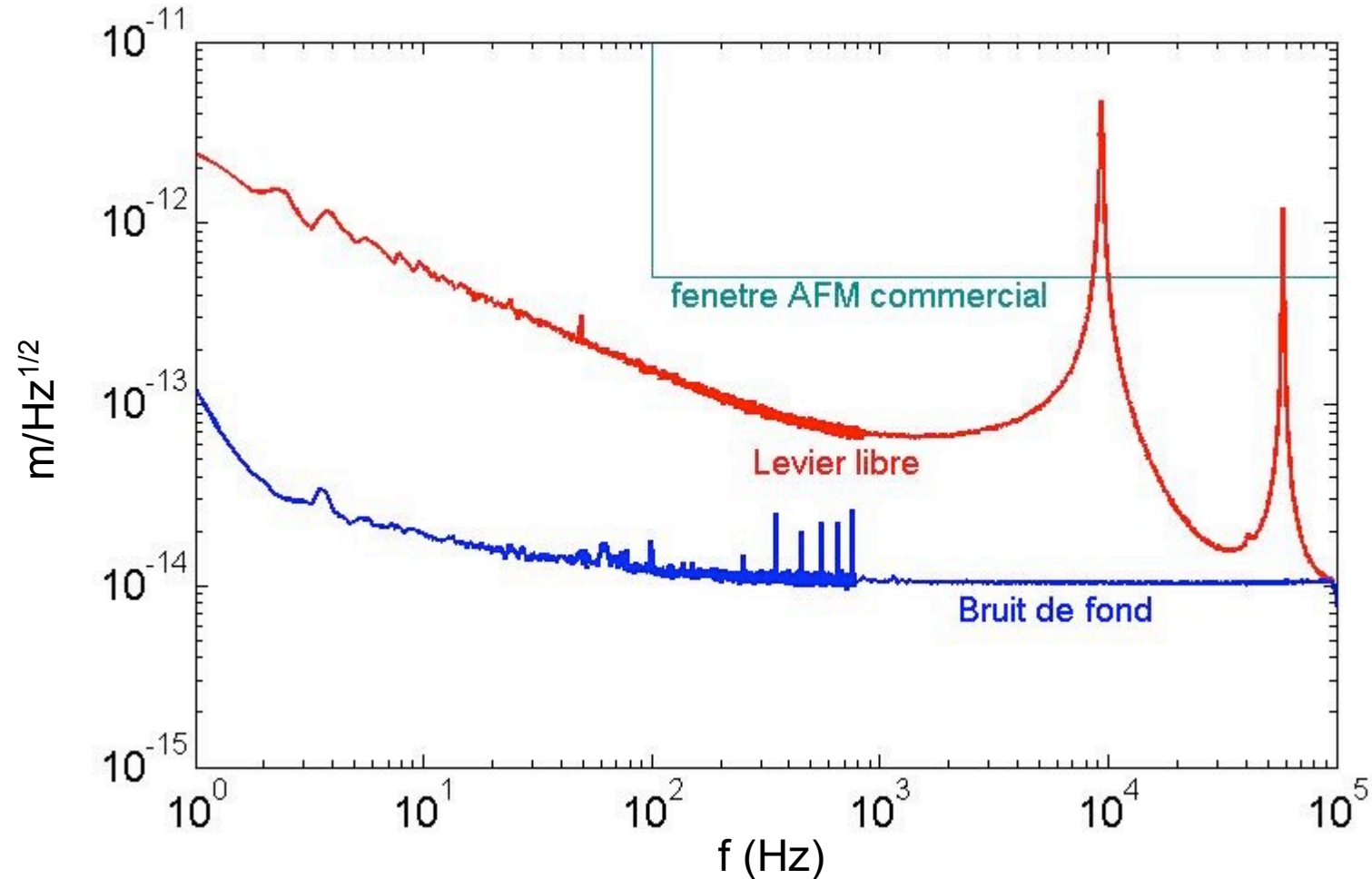


$$\varphi = \frac{2\pi}{\lambda} 2d$$



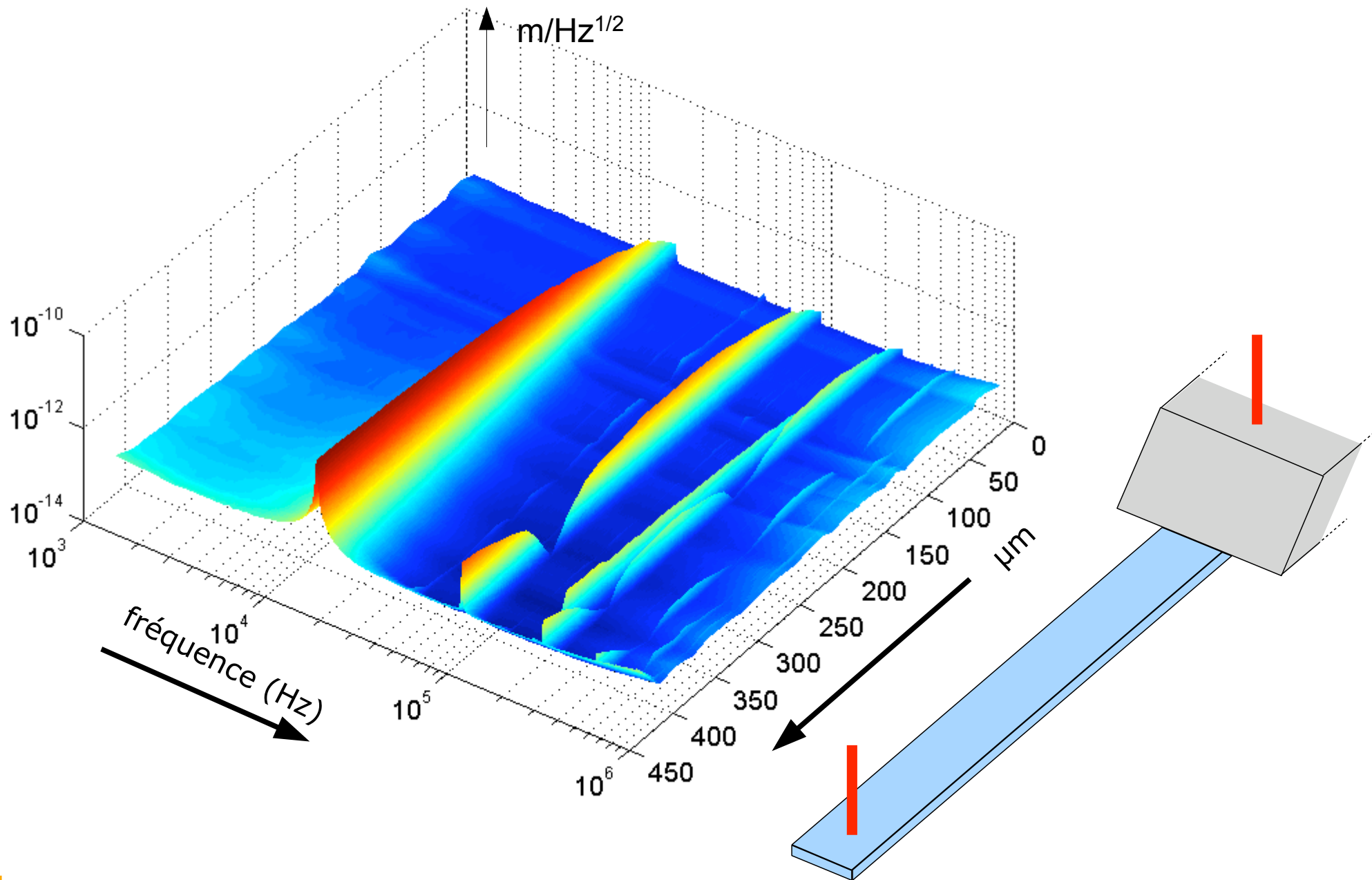
$$\hat{C} = e^{i\varphi}$$

## Densité Spectrale de Puissance des fluctuations thermiques de déflexion

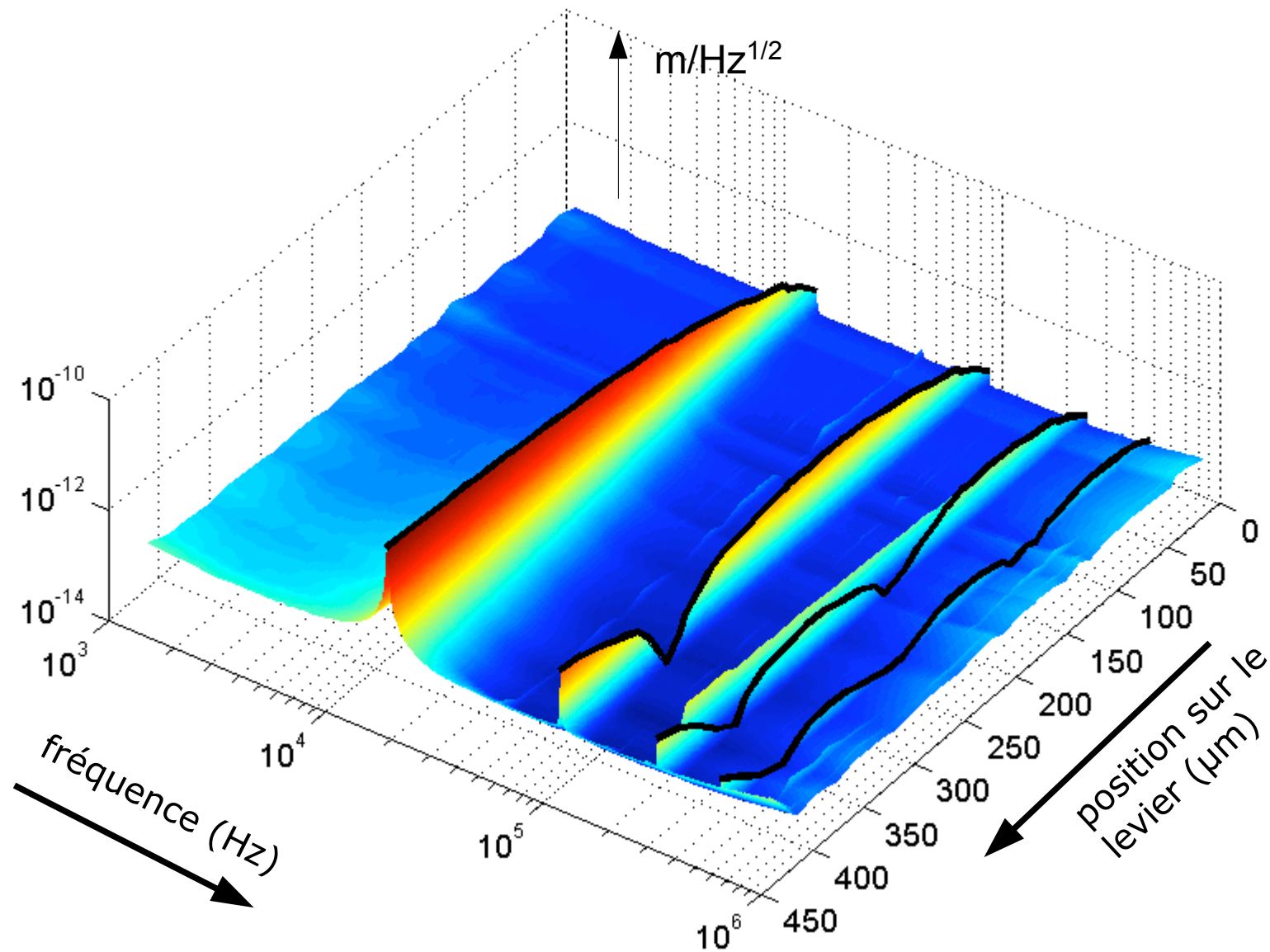


$$DSP : S_x(f) = \left\langle \lim_{T \rightarrow \infty} \frac{1}{T} \left| \int x(t) e^{i\omega t} dt \right|^2 \right\rangle_{Ensemble}$$

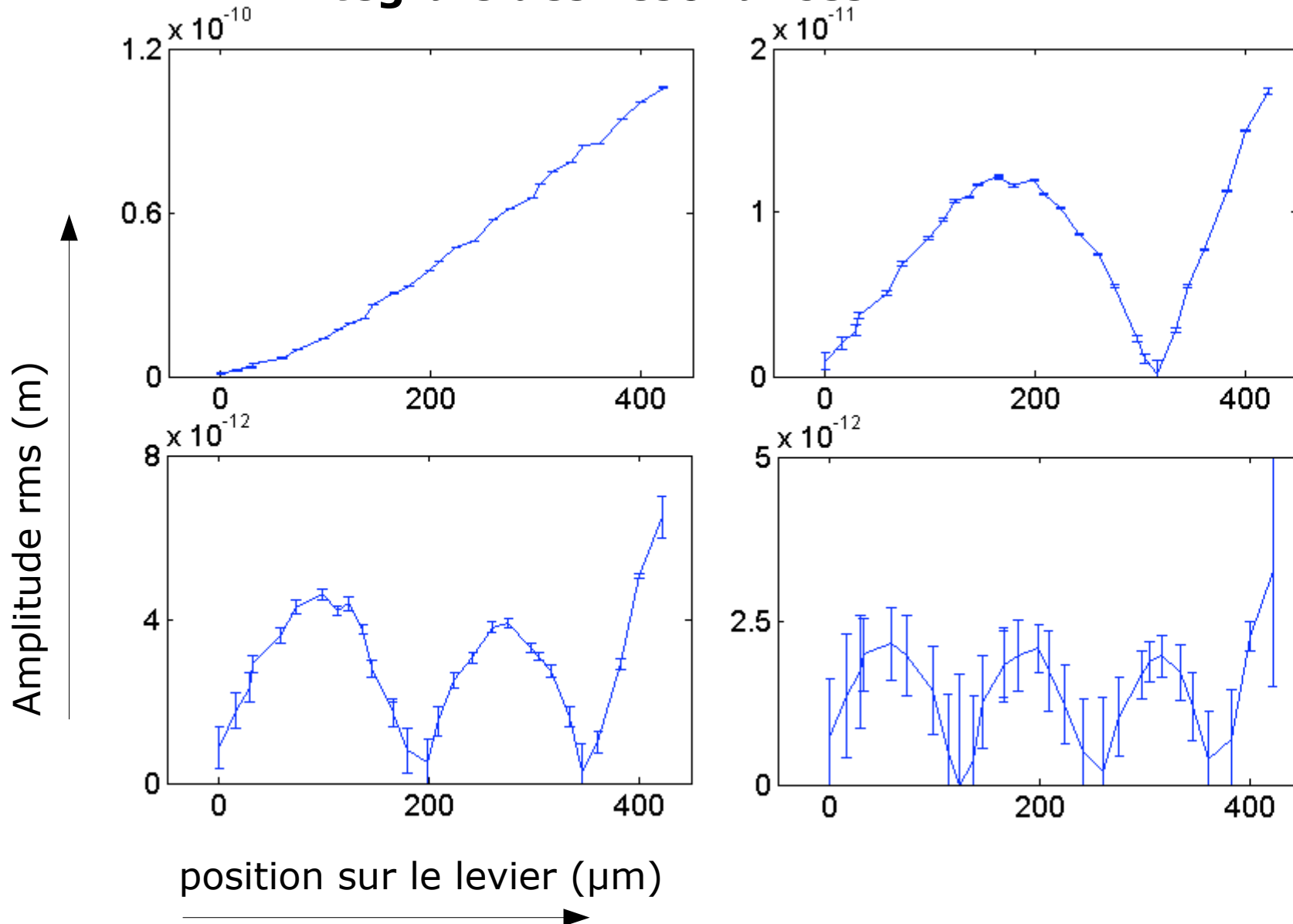
# Cartographie des fluctuations thermiques



# Modes d'oscillation du levier



## Intégrale des résonances



# Modèle d'Euler-Bernoulli d'une poutre

solution eq. Euler-Bernoulli :

$$w(x, t) = \sum_{n=1}^{\infty} A_n \cos(\omega_n t + \phi_n) f(\alpha_n, x)$$

rel. de dispersion :

$$\omega_n = \frac{\alpha_n^2 h}{L^2} \sqrt{\frac{E}{12\rho}}$$

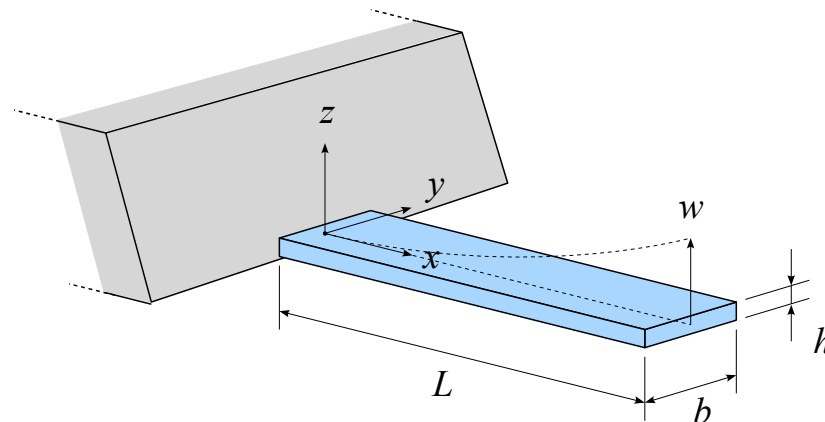
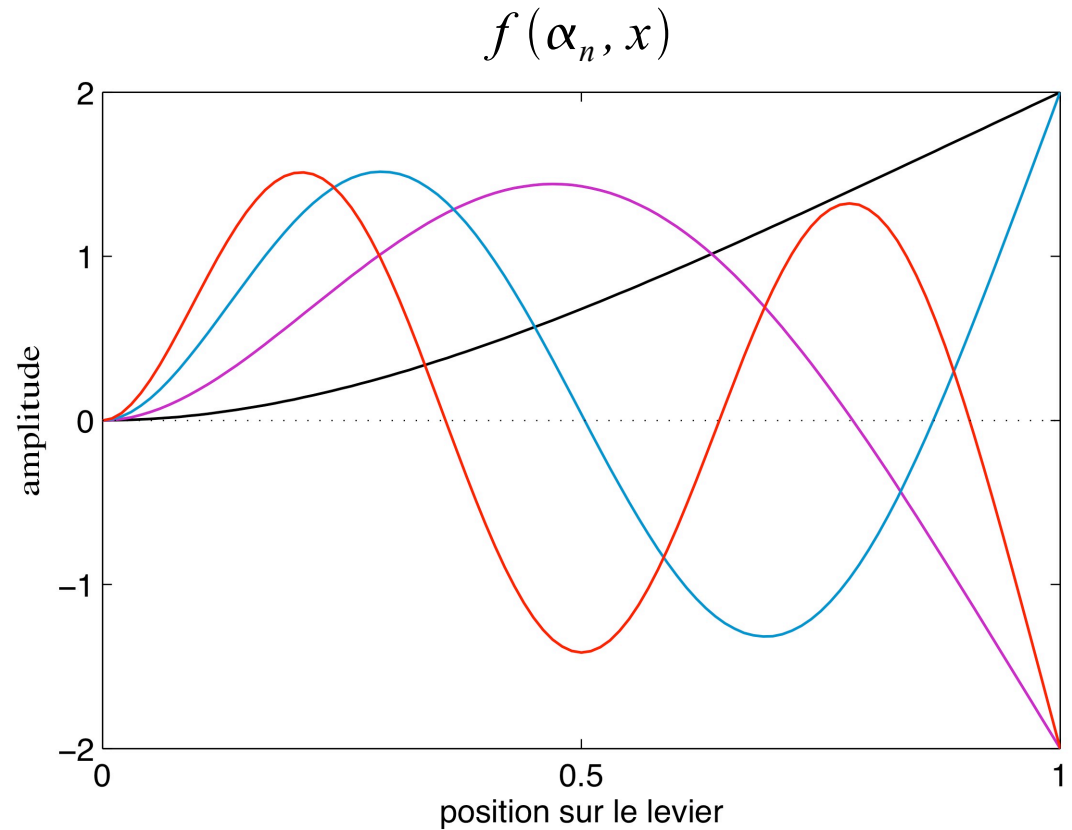
mode  $\sim$  oscillateur harmonique :

$$m_{\text{eff}} = m/4 \quad k_n = \frac{\alpha_n^4}{12} K$$

$$K = E \frac{b h^3}{4L^3}$$

$E$  module de Young

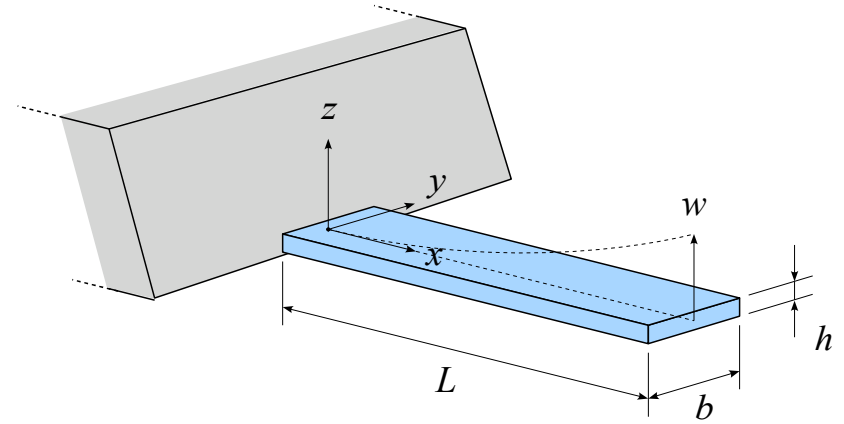
$\rho$  densité



# Energie thermique distribuée dans les modes

A l'équilibre thermique :

$$\frac{k_B T}{2} = \frac{K \langle d^2 \rangle}{2} = \frac{k_n \langle d_n^2 \rangle}{2} \quad K = E \frac{b h^3}{4L^3}$$



L'énergie thermique se distribue dans les modes propres :

$$\langle d_n^2 \rangle = \frac{12}{\alpha_n^4} \frac{k_B T}{K}$$

$$\begin{aligned} L &= 450 \mu m \\ b &= 50 \mu m \\ h &= 2 \mu m \end{aligned}$$

$\alpha_n$  déterminés par les conditions aux bords :

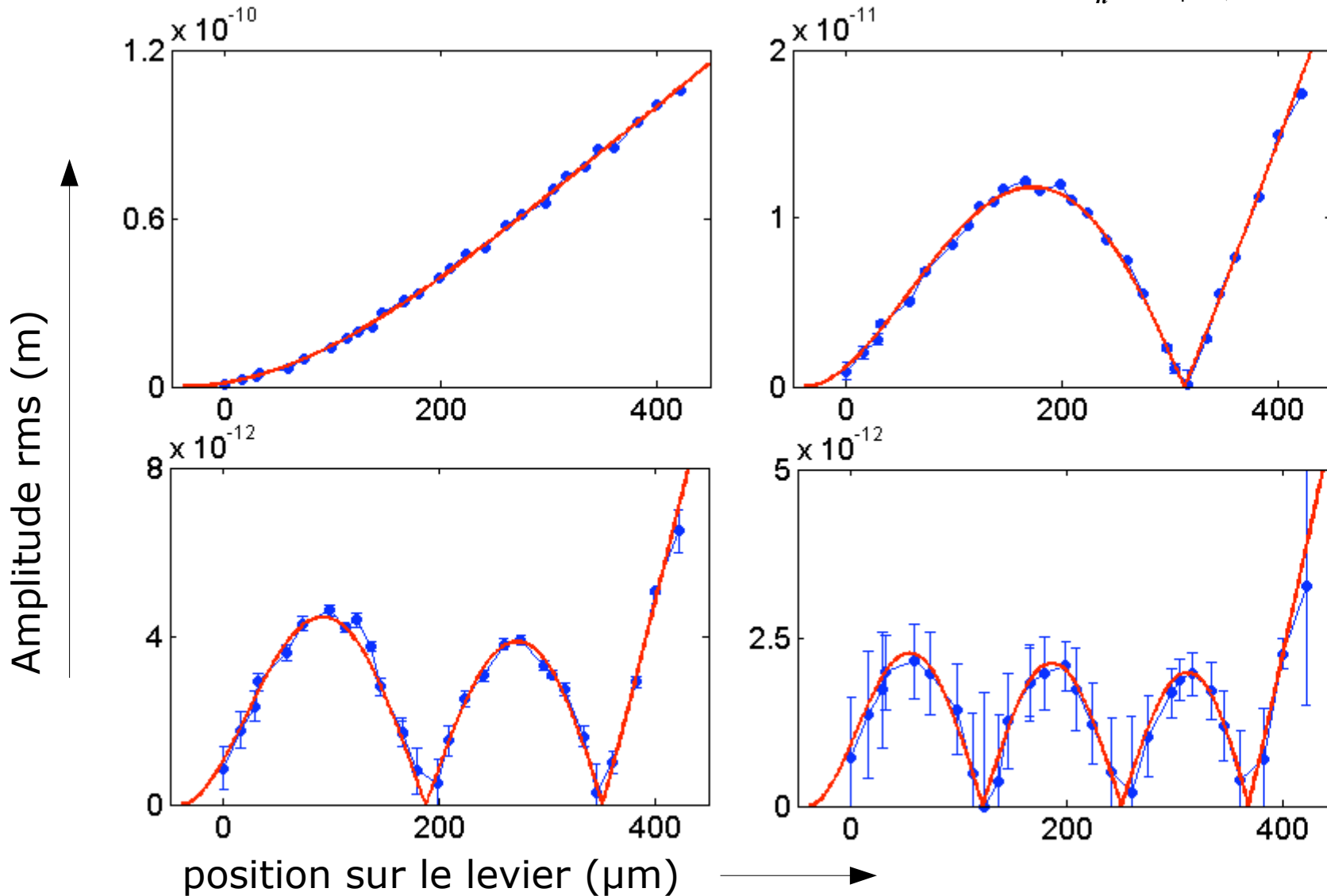
$$\alpha_n \simeq 1.875, 4.694, \pi(n-1/2), \text{ pour } n=1,2,3, \dots$$

Chaque mode aura emmagasiné une fraction  $12/\alpha_n^4$  de l'énergie totale :

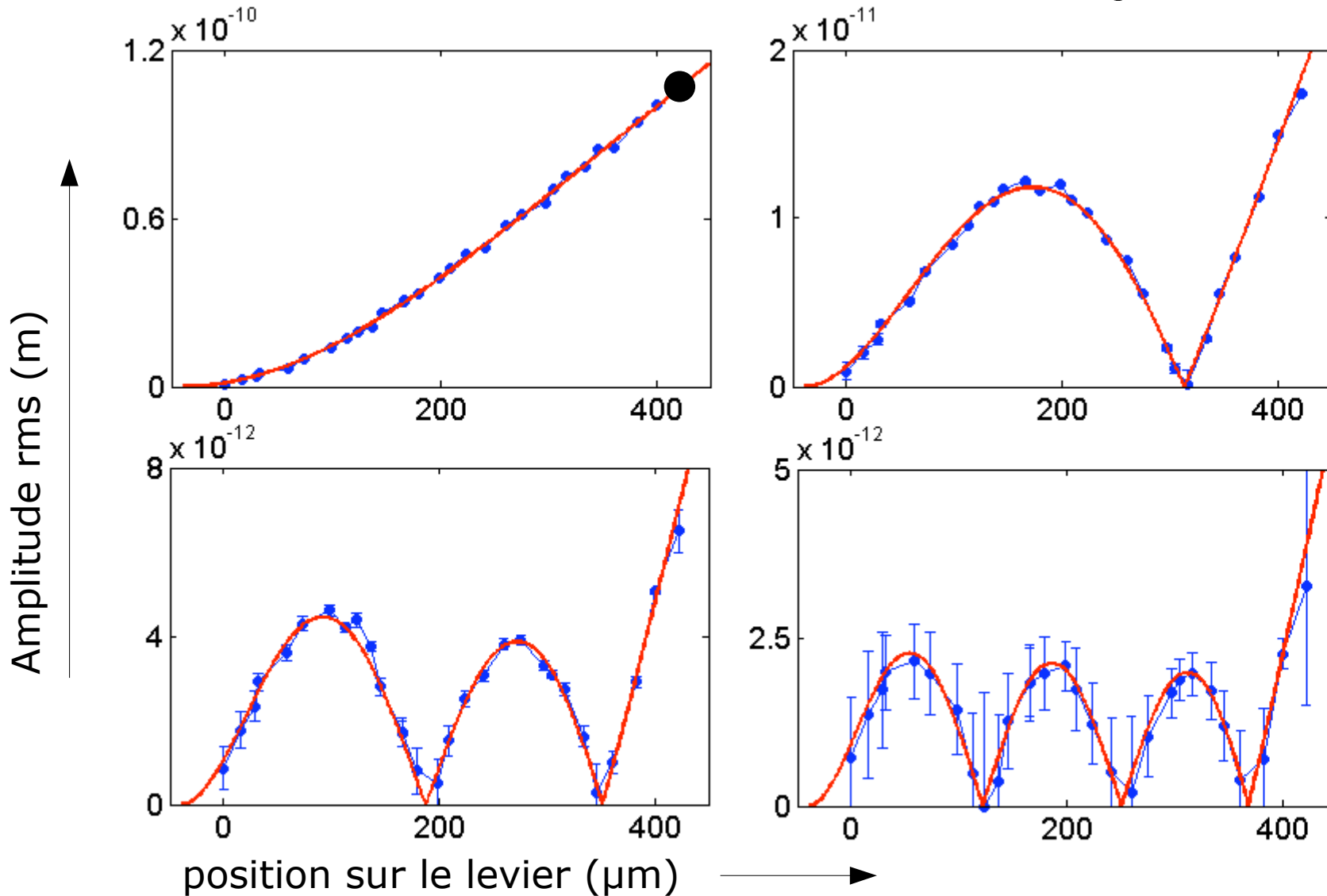
$$\langle d_1^2 \rangle = 0.971 \frac{k_B T}{K} \quad ; \quad \langle d_2^2 \rangle = 0.025 \frac{k_B T}{K} \quad ; \quad \dots$$



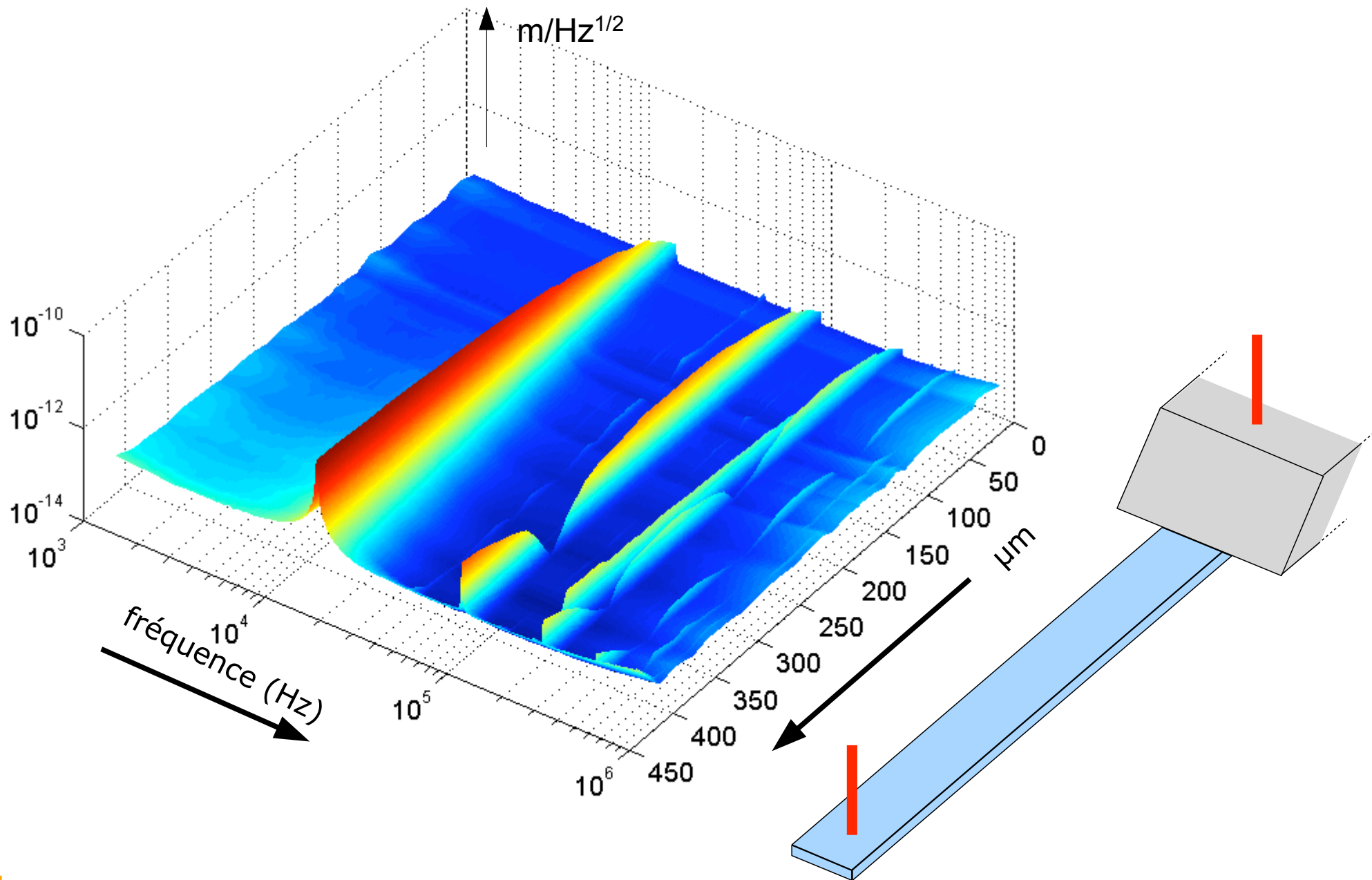
**Fonction de fit :**  $\langle d_n^2(x) \rangle = \frac{12 k_B T}{\alpha_n^4 K'} \left| f \left( \alpha_n, \frac{x-x_0}{L'} \right) \right|$



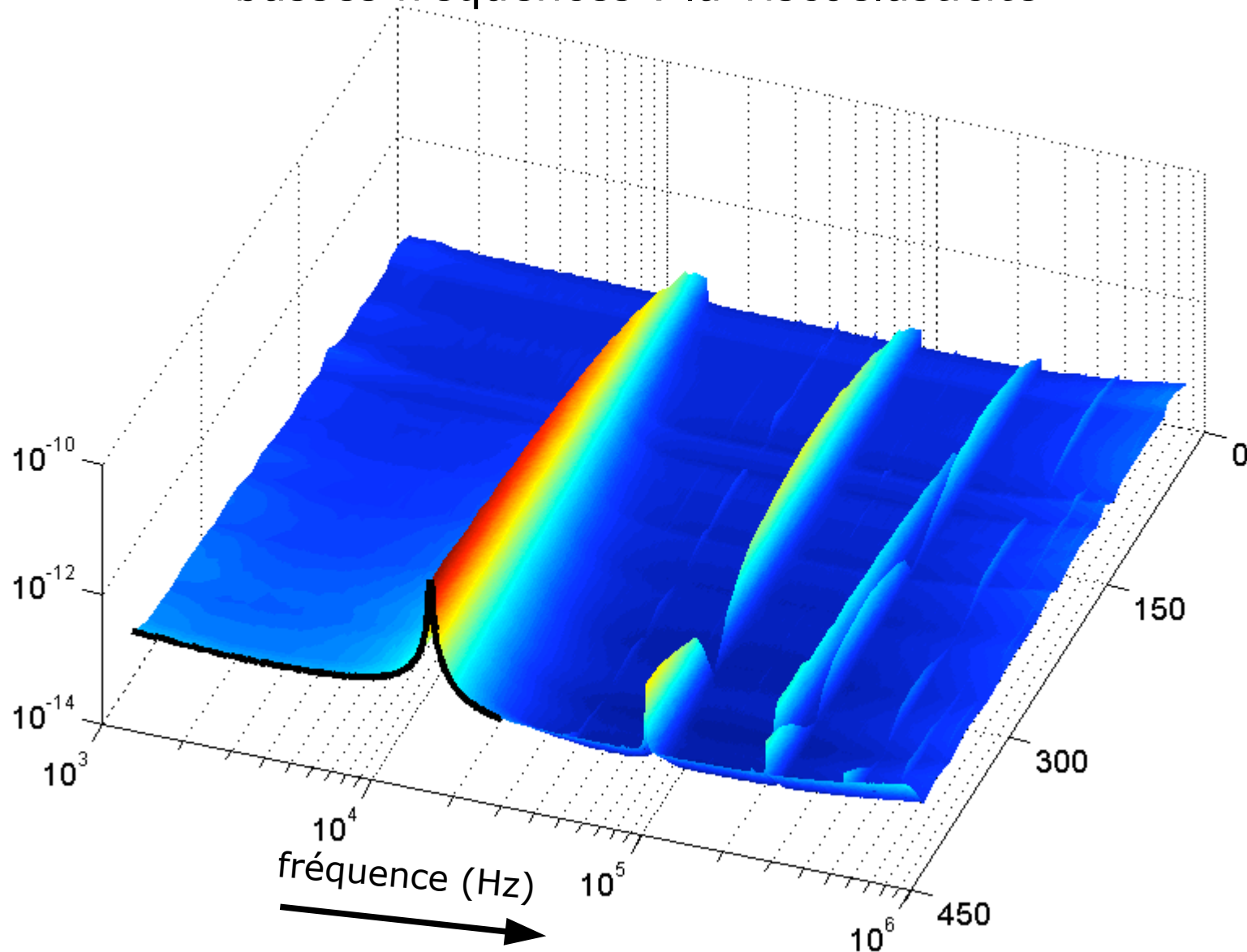
Fonction de fit :  $\langle d_1^2(L) \rangle = \frac{12 k_B T}{\alpha_1^4 K'} |f(\alpha_1, L)|$

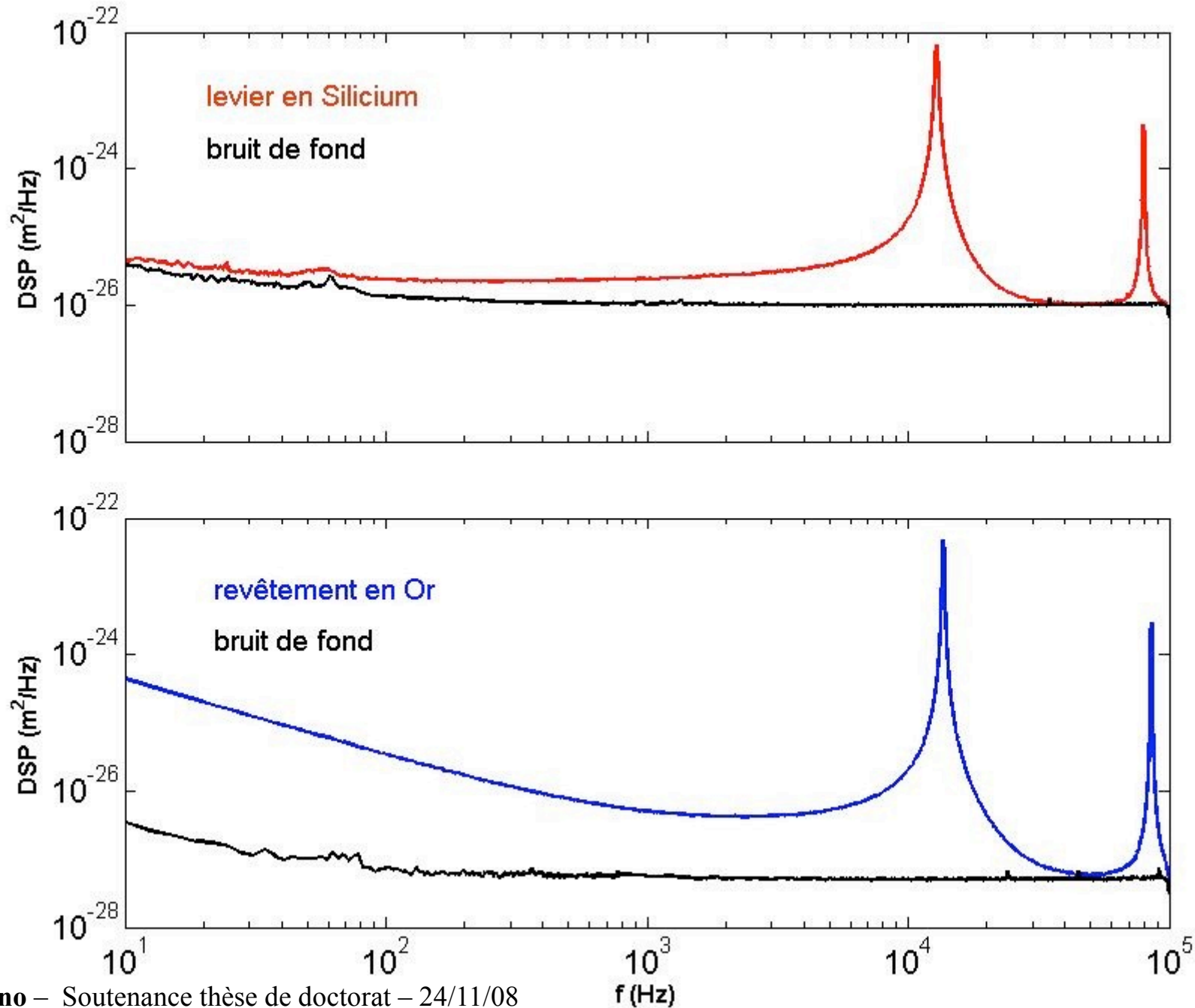


# Cartographie des fluctuations thermiques



basses fréquences : la viscoélasticité





## OHV : dissipation visqueuse

$$m \ddot{d}(t) = -k d(t) - \gamma \dot{d}(t) + F(t) \xrightarrow{\text{Fourier}} \left[ (\omega_0^2 - \omega^2) + i \left( \frac{\omega_0 \omega}{Q} \right) \right] d = \frac{F}{m}$$

$$\omega_0^2 = k/m \quad Q = m \omega_0 / \gamma$$

Fonction réponse :

$$G(\omega) = \frac{F(\omega)}{d(\omega)} = k \left[ 1 - \frac{\omega^2}{\omega_0^2} + i \left( \frac{1}{Q} \frac{\omega}{\omega_0} \right) \right]$$

Théorème de Fluctuation-Dissipation

$$S_d(\omega) = -\frac{4k_B T}{\omega} \text{Im} \left[ \frac{1}{G(\omega)} \right]$$
$$= \frac{4k_B T}{k \omega_0} \frac{1/Q}{(1-u^2)^2 + (u/Q)^2}$$

avec

$$u = \omega / \omega_0$$

$$\text{pour } \omega \ll \omega_0 \quad S_d(\omega) \sim \begin{cases} \frac{1}{k \omega_0 Q} & \text{modèle OHV} \end{cases}$$

## $OHV^*$ : dissipation visqueuse et viscoélastique

$$m\ddot{d}(t) = -K*d(t) - \gamma\dot{d}(t) + F(t) \xrightarrow{\text{Fourier}} \left[ (\omega_0^2 - \omega^2) + i \left( \frac{\omega_0 \omega}{Q} + \omega_0^2 \Phi \right) \right] d = \frac{F}{m}$$

$$k^* = k(1 + i\Phi) \in \mathbb{C}$$

Fonction réponse :

$$G(\omega) = \frac{F(\omega)}{d(\omega)} = k \left[ 1 - \frac{\omega^2}{\omega_0^2} + i \left( \frac{1}{Q} \frac{\omega}{\omega_0} + \Phi \right) \right]$$

$$\omega_0^2 = k/m \quad Q = m\omega_0/\gamma$$

$$\frac{1}{Q_{eff}} = \frac{1}{Q} + \Phi$$

Théorème de Fluctuation-Dissipation

$$S_d(\omega) = -\frac{4k_B T}{\omega} \text{Im} \left[ \frac{1}{G(\omega)} \right]$$

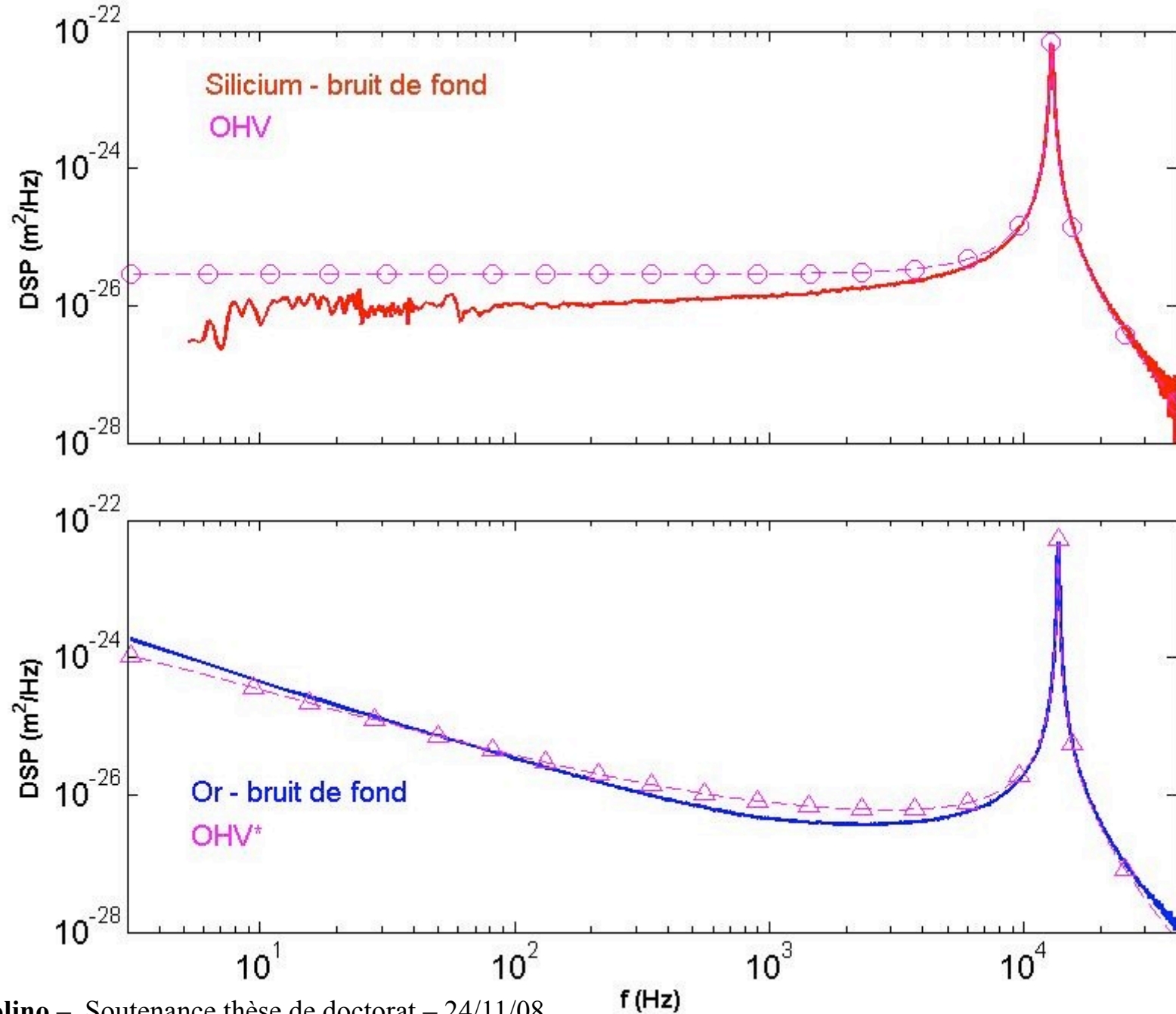
$$= \frac{4k_B T}{k\omega_0} \frac{1/Q + \Phi/u}{(1-u^2)^2 + (u/Q + \Phi)^2}$$

avec

$$u = \omega/\omega_0$$

$$\text{pour } \omega \ll \omega_0 \quad S_d(\omega) \sim \begin{cases} \frac{1}{k\omega_0 Q} & \text{modèle } OHV \\ \frac{\Phi}{k} \frac{1}{\omega} & \text{modèle } OHV^* \end{cases}$$

# Comparaison avec les modèle OHV et OHV\*





## Correction hydrodynamique de Sader

$$m \ddot{d}(t) = -k d(t) - \gamma \dot{d}(t) + F(t)$$

*modèle OHV*

$$F_{hydro} = i \omega \gamma d$$

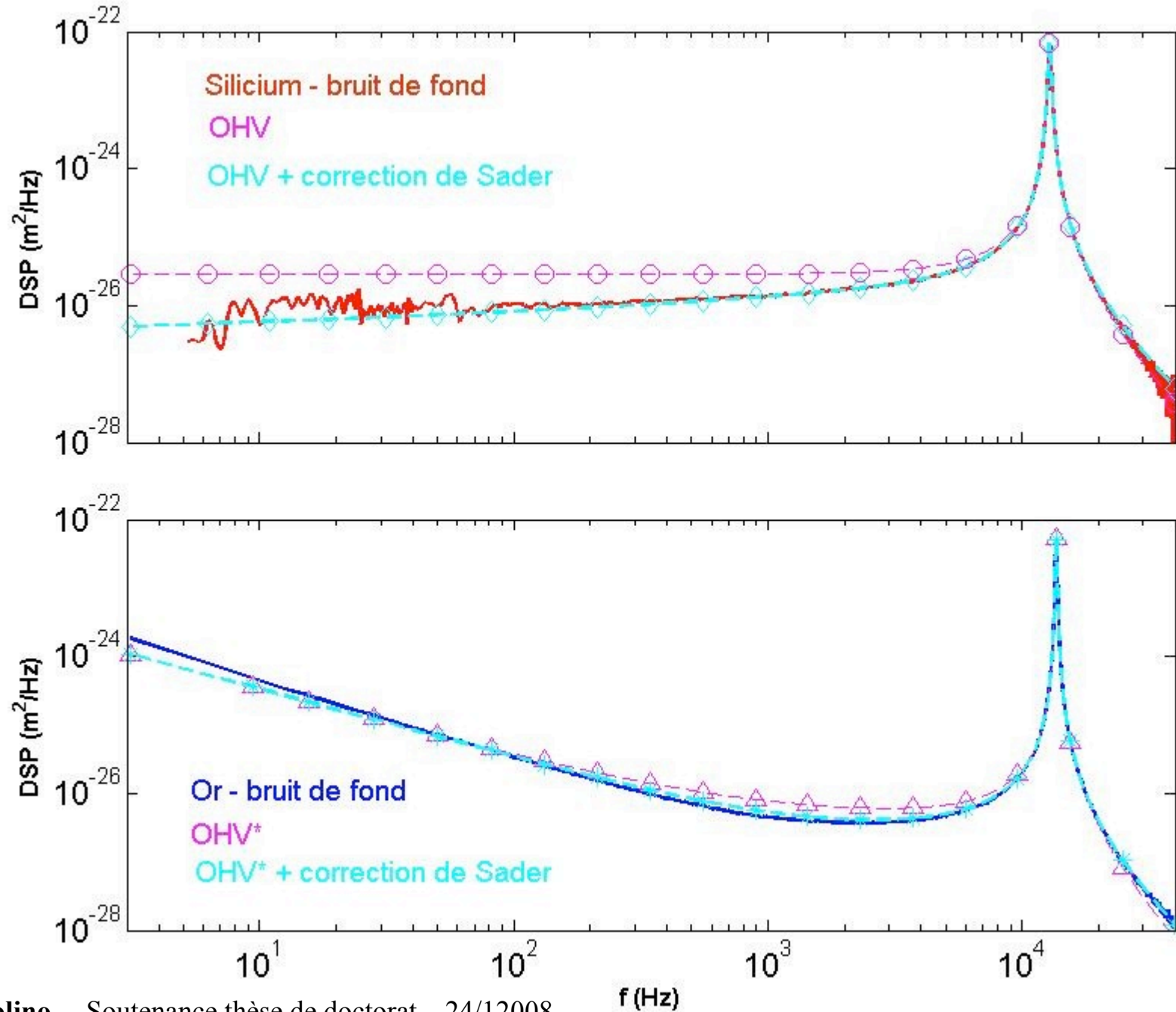
*modèle Sader*

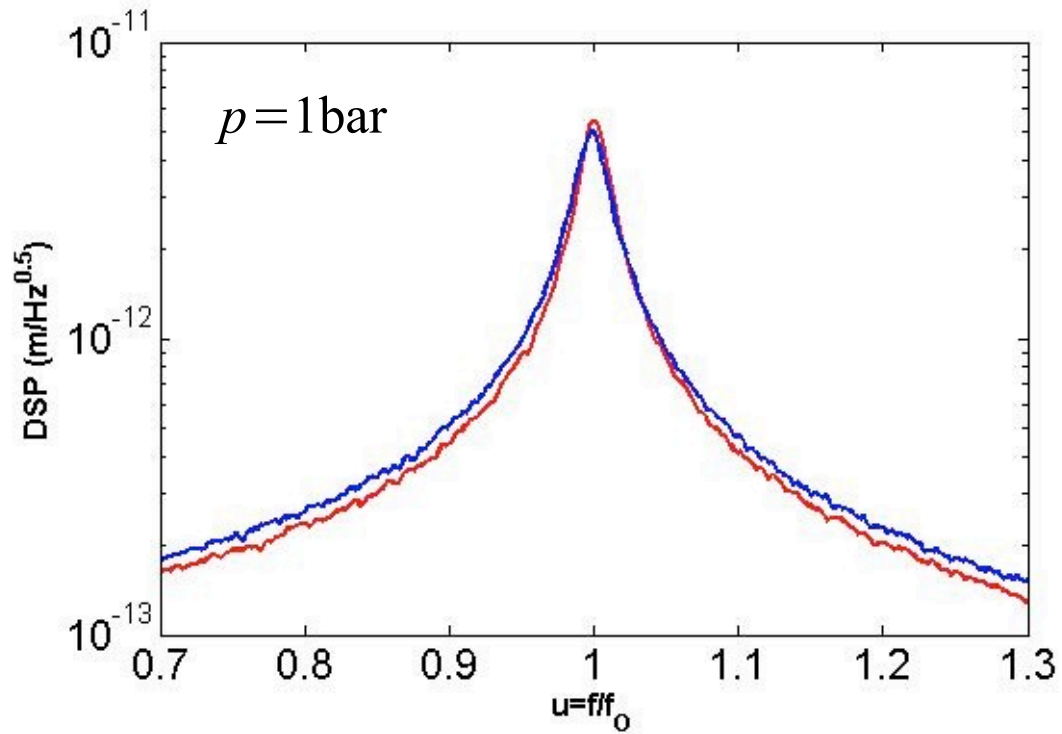
$$F_{hydro} = (\omega^2 m_{Sader}(\omega) + i \omega \gamma_{Sader}(\omega)) d$$

*Sader sans masse ajoutée*

$$F_{hydro} = i \omega \gamma_{Sader}(\omega) d$$

# Correction hydrodynamique de Sader





Facteur de qualité :

Or

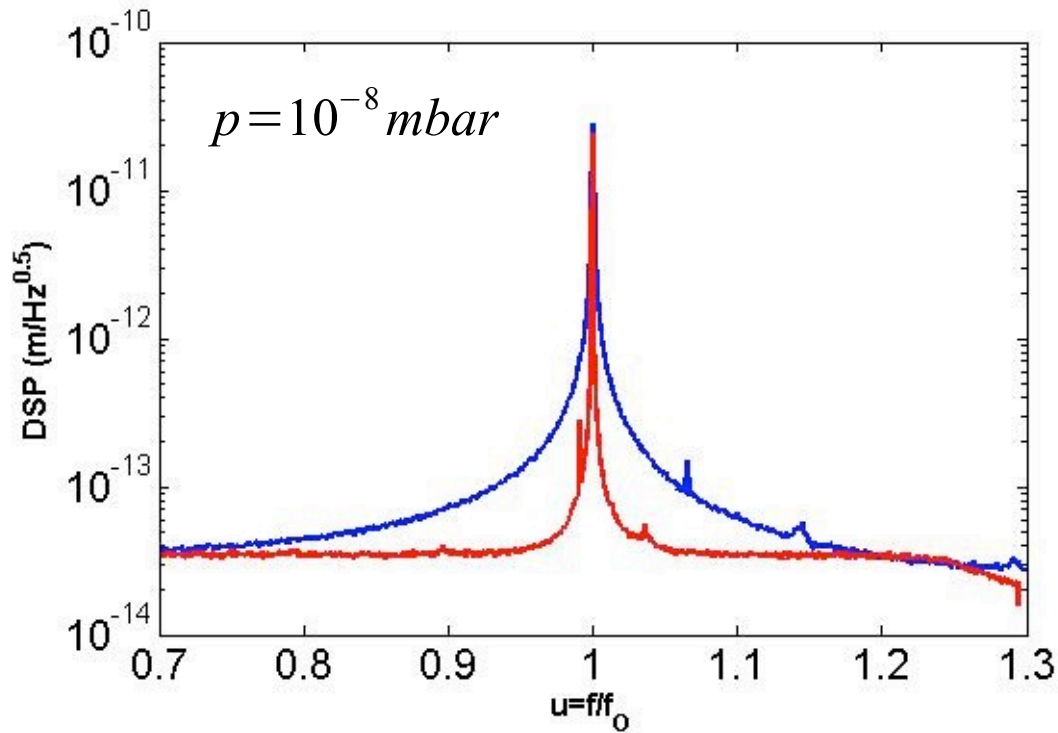
$$Q_{\text{eff}} = 65$$

à  $p = 1 \text{ bar}$

Silicium

$$Q_{\text{eff}} = 60$$

à  $p = 1 \text{ bar}$



Facteur de qualité :

Or

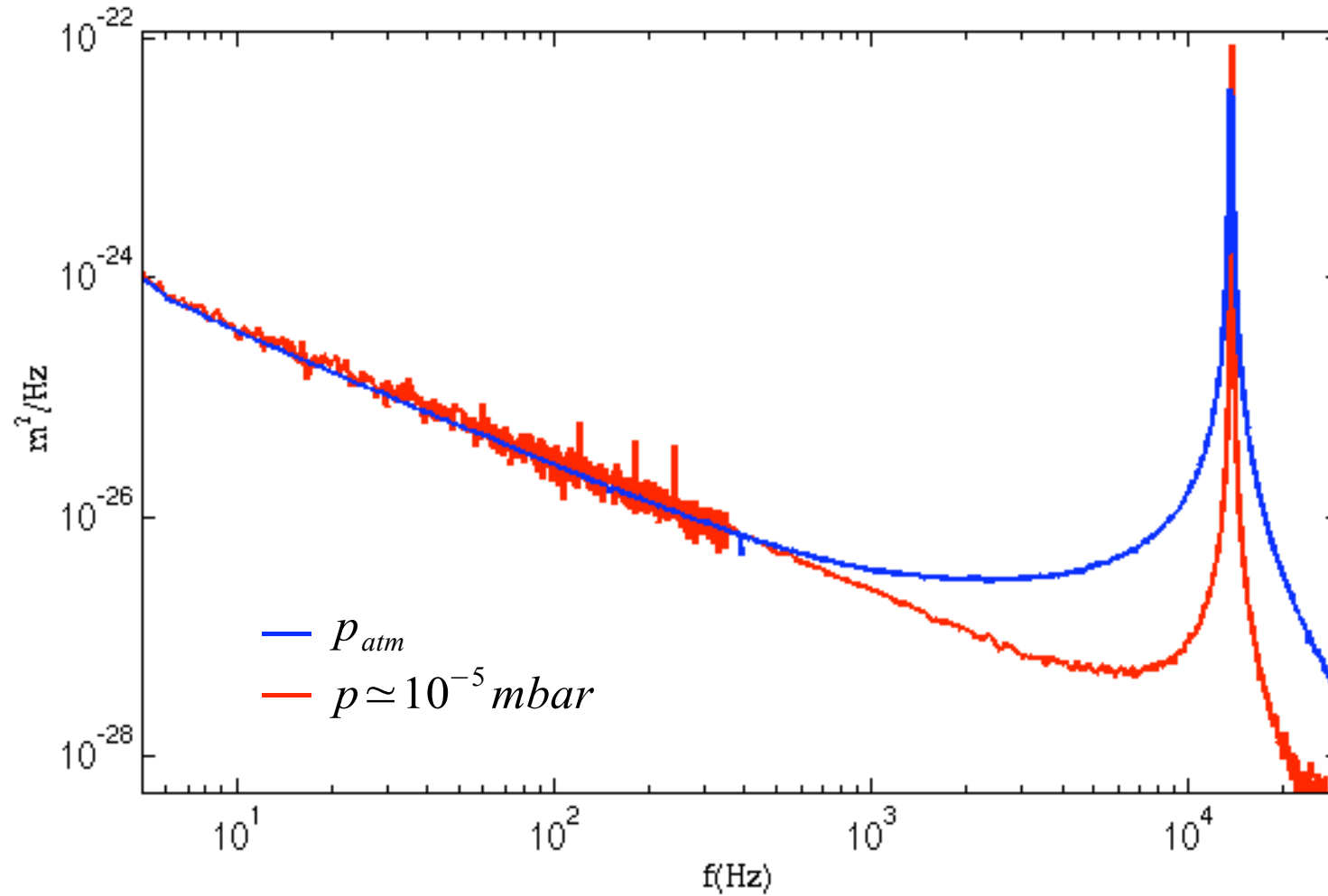
$$Q_{eff} = 65 \quad \text{à } p = 1 \text{ bar} \quad \longrightarrow \quad Q_{eff} = 19\,000 \quad \text{à } p = 10^{-8} \text{ mbar}$$

Silicium

$$Q_{eff} = 60 \quad \text{à } p = 1 \text{ bar} \quad \longrightarrow \quad Q_{eff} = 122\,000 \quad \text{à } p = 10^{-8} \text{ mbar}$$

Dans le vide le facteur de qualité est dominé par la dissipation viscoélastique

DSP d'un levier avec revêtement en or



modèle de la réponse  $G$  : 
$$G(\omega) = k \left[ 1 - \frac{\omega^2}{\omega_0^2} + i \left( \frac{1}{Q} \frac{\omega}{\omega_0} + \Phi \right) \right] = G' + iG''$$

Kramers-Krönig : relations intégrales entre  $G'$  et  $G''$

ce modèle ne vérifie pas Kramers-Krönig. Il est nécessaire rajouter pour  $\Phi$  une dépendance en fréquence

$$G' = \frac{2}{\pi} PP \int_0^{\infty} \frac{\Omega G''(\Omega)}{\Omega^2 - \omega^2} d\Omega$$

$$G'' = -\frac{2\omega}{\pi} PP \int_0^{\infty} \frac{G'(\Omega)}{\Omega^2 - \omega^2} d\Omega$$

## Comparaison des réponses mécaniques

modèle

$$G(\omega) = k \left[ 1 - \frac{\omega^2}{\omega_0^2} + i \left( \frac{1}{Q} \frac{\omega}{\omega_0} + \Phi \right) \right]$$



**G mesurée :**

$$G(\omega) \xleftarrow{\text{K-K}} \text{Im} \left[ \frac{1}{G(\omega)} \right]$$

## Comparaison des DSP

spectre théorique

$$S_d(\omega) \propto \text{Im} \left[ \frac{1}{G(\omega)} \right]$$

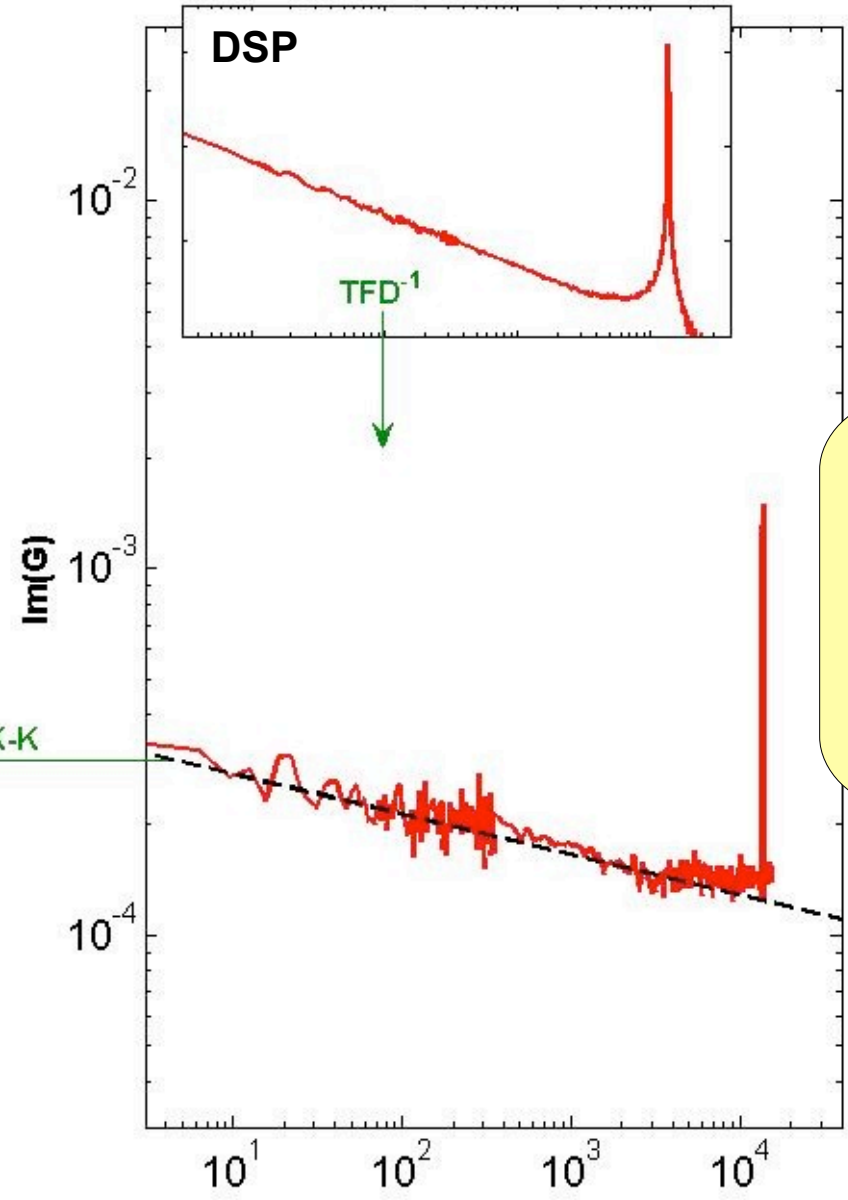
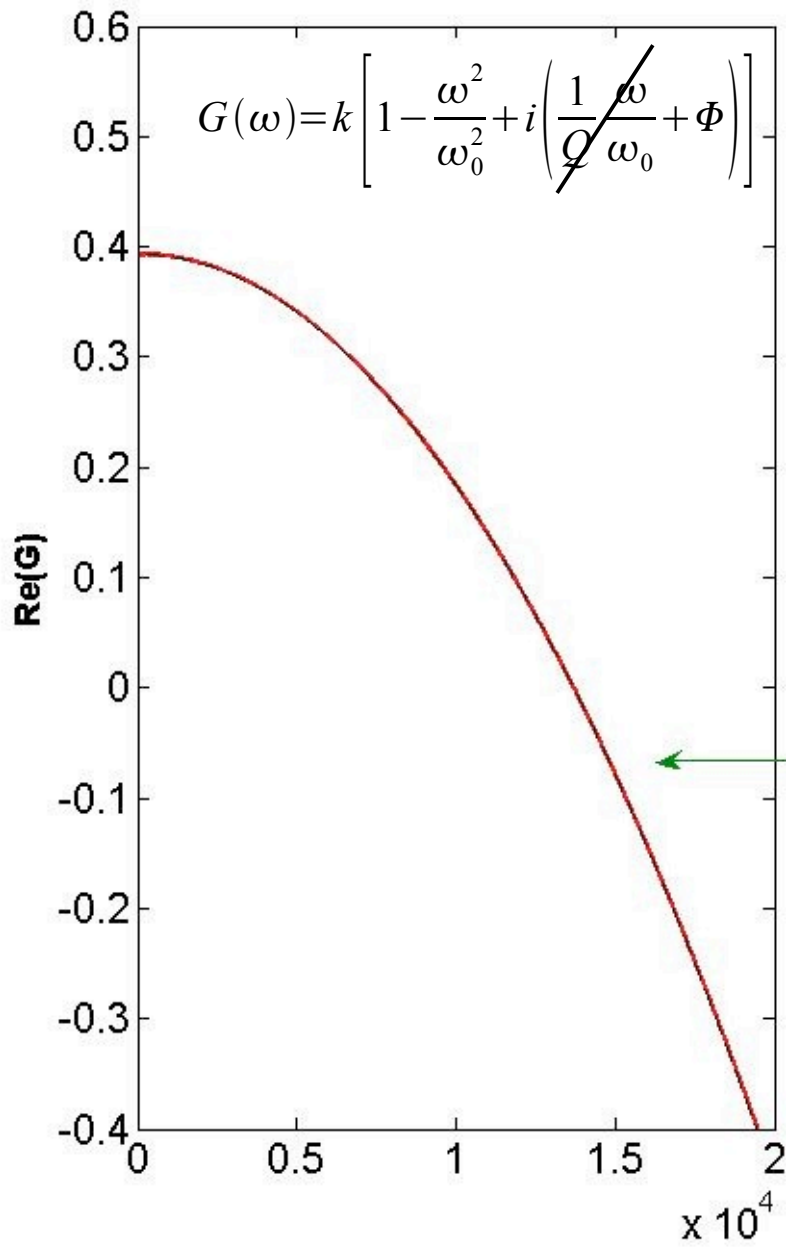


**spectre mesuré**

TFD

TFD

# Kramers-Krönig : réponse complète du levier

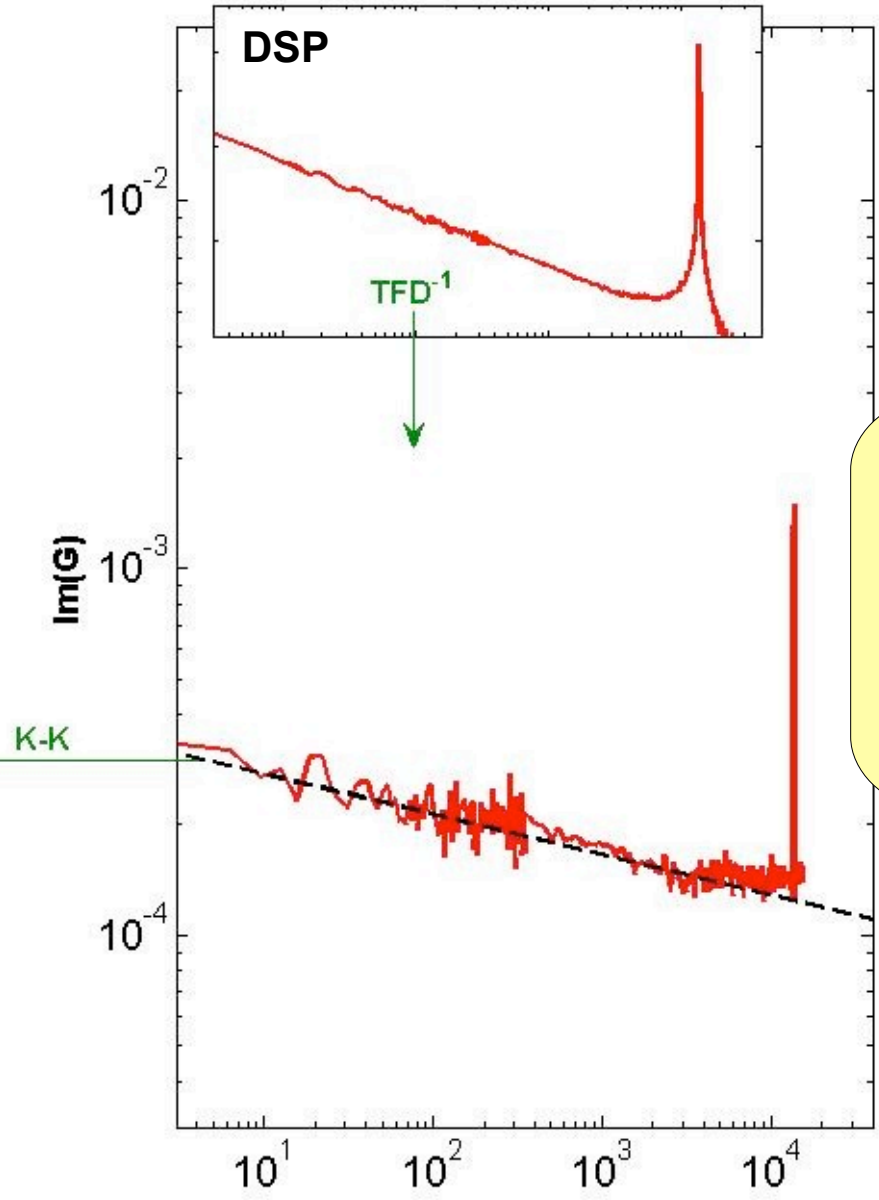
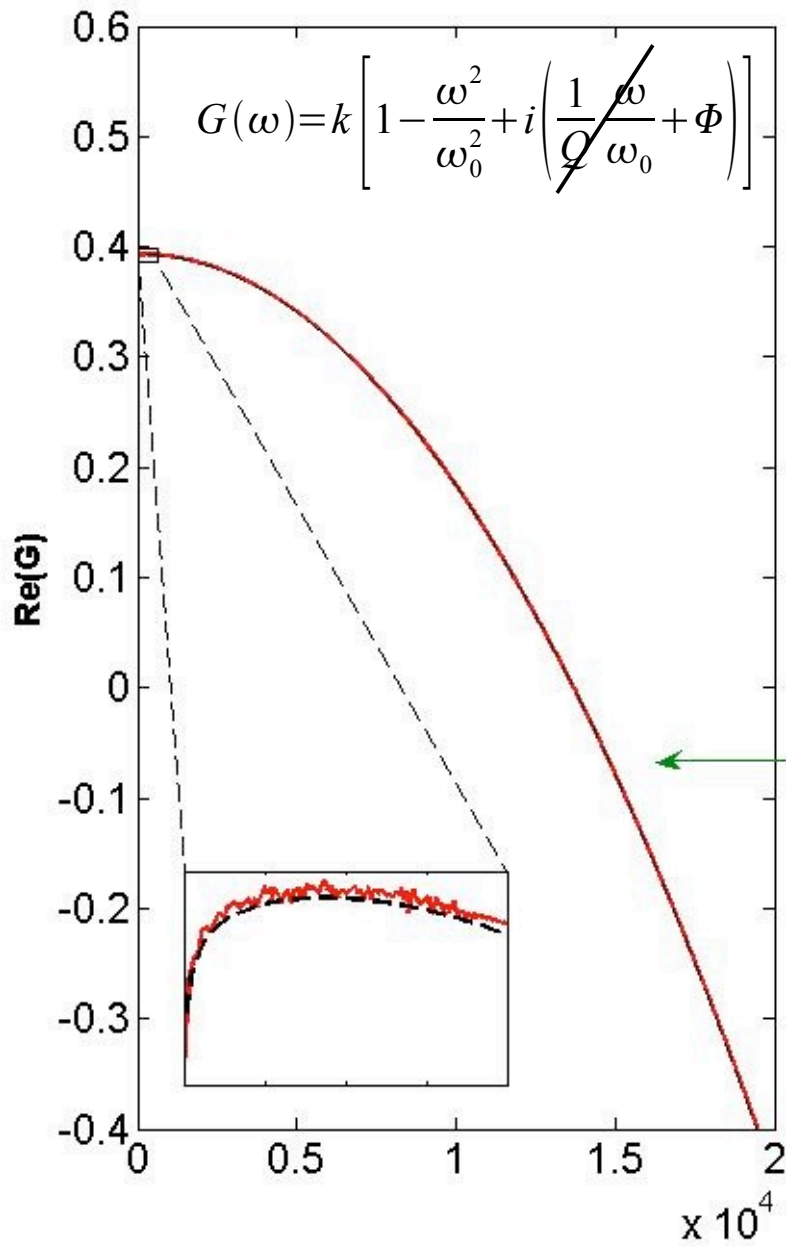


**Jonscher :**  

$$k^* = k_0 - \left( \frac{iJ}{\omega} \right)^\beta$$
  
 avec  $0 < \beta < 1$



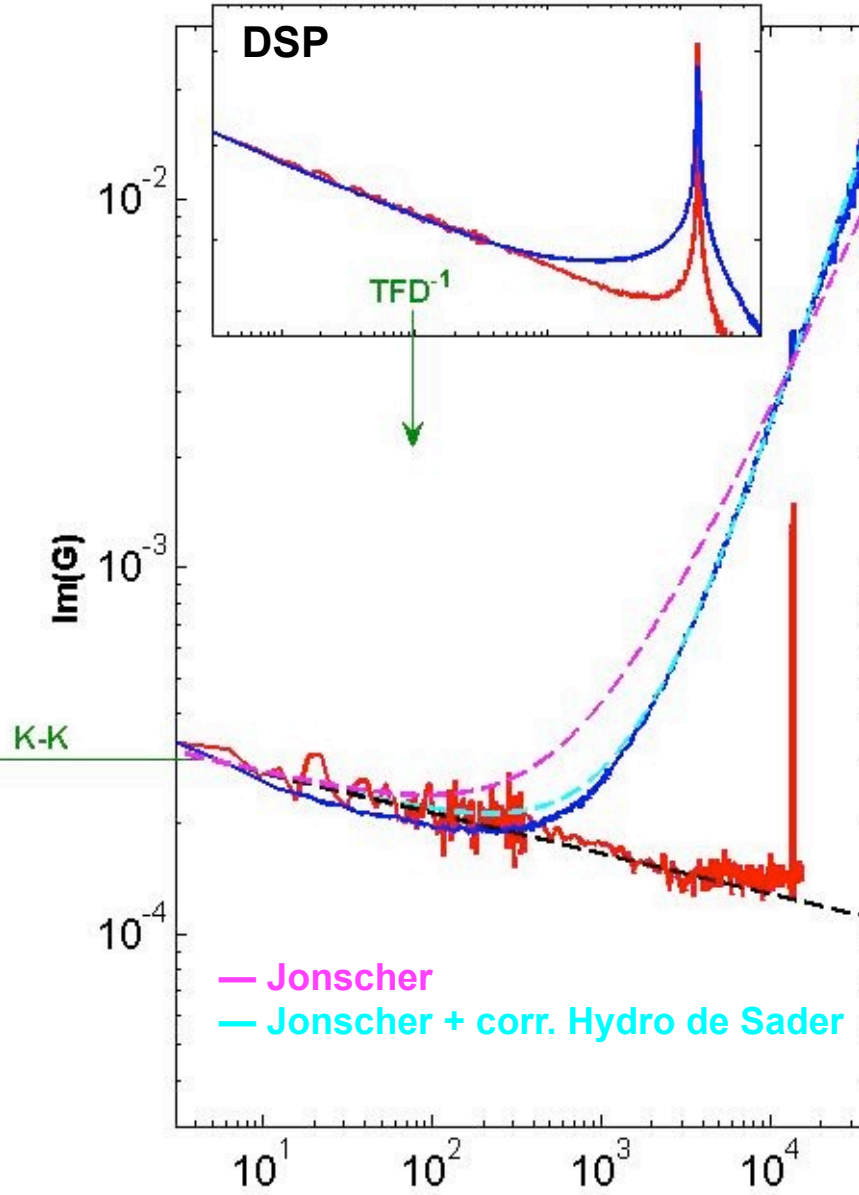
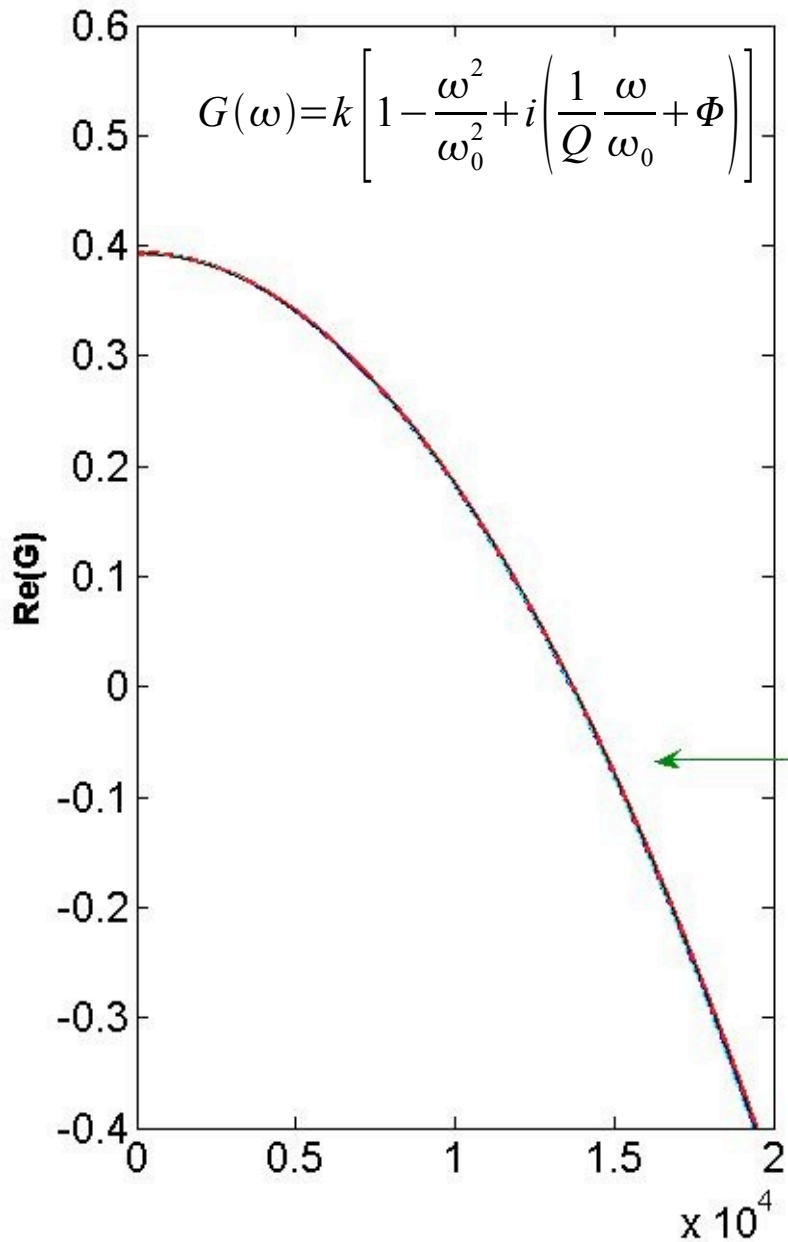
# Kramers-Krönig : réponse complète du levier

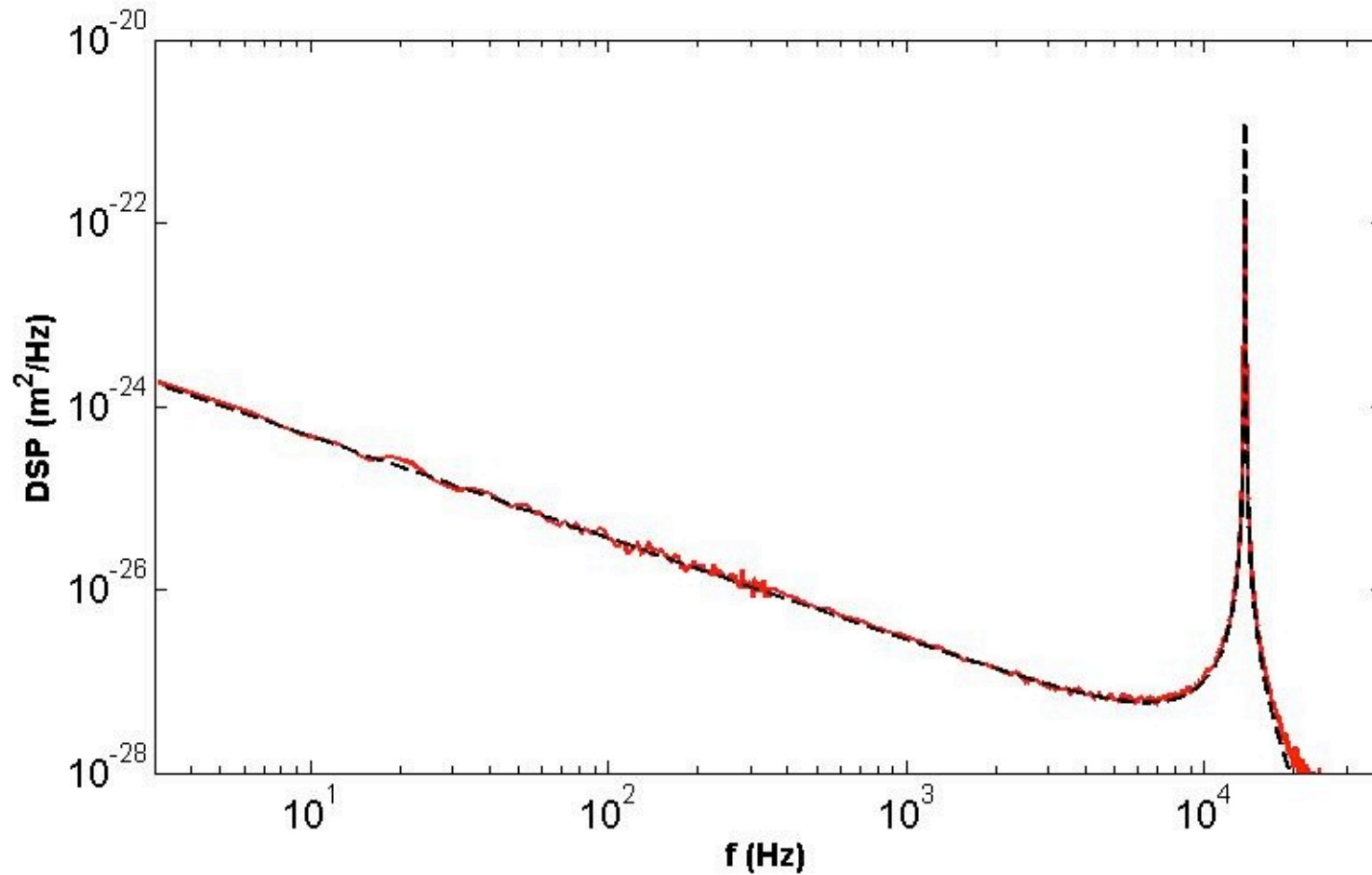


$$k^* = k_0 - \left( \frac{iJ}{\omega} \right)^\beta$$

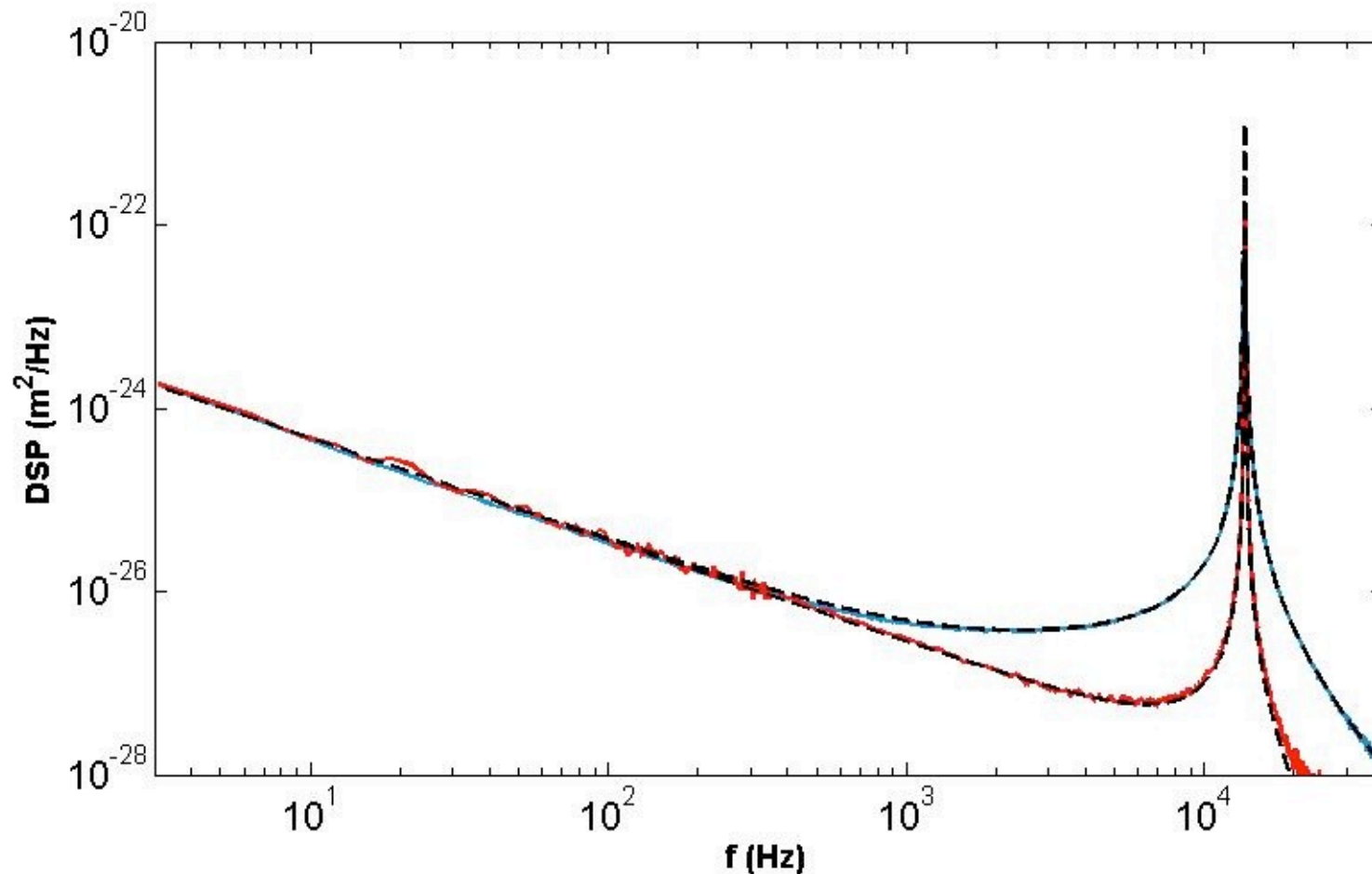
avec  $0 < \beta < 1$

# Kramers-Krönig : réponse complète du levier

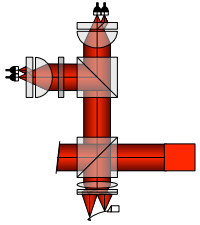




- une dissipation viscoélastique dépendante de la fréquence suffit pour la mesure dans le vide.



- une dissipation viscoélastique dépendante de la fréquence suffit pour la mesure dans le vide.
- à pression atmosphérique il faut de plus prendre en compte la dépendance en fréquence du couplage visqueux (correction hydrodynamique de Sader) .



- méthode interférométrique de mesure de la déflexion du levier, intrinsèquement calibrée, insensibles aux dérives thermiques

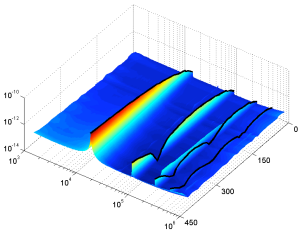
- haute résolution :  $10^{-14} \text{ m} / \sqrt{\text{Hz}}$

- mesure des profils spatiaux des modes propres d'oscillation du levier thermiquement excité

- estimation robuste de la raideur

- mise en évidence d'une source interne de dissipation viscoélastique pour les leviers avec revêtement métallique

- reconstruction complète de la réponse mécanique du levier à l'aide des relations de Kramers-Krönig : viscoélasticité à la Jonscher et correction hydrodynamique de Sader



- cartographie des fluctuations thermiques du levier en contact avec un échantillon ou de structures plus complexes (poutre encastrée des deux côtés, membranes, MEMS, etc.)
- investigation de l'origine physique de la viscoélasticité
- revêtement polymère pour étudier son vieillissement
- excitation optique du levier
- interaction sonde-échantillon (oui, un jour on va mettre un échantillon sous la pointe...)